Statyuahr N3BECTИЯ

АКАДЕМИИ НАУК АРМЯНСКОЙ ССР

Sthubyuuuu арыльфальшьгр исгри СЕРИЯ ТЕХНИЧЕСКИХ НАУК

theyur

ÉPEBAH

Надается с 1947 г. Журнал выходит 6 раз в год на русском ваыке

ы бритекцию читьчей

Կասյան Մ. Վ. (պատ. խմբազիր), Աղոնց Հ. Տ. (պատ. հարդան Ռ. Ե., Ալհրոհնսկի Վ. Վ., Անանյան Ա. Կ., Ձաղոյան Մ. Ա., Հակոբյան Ռ. Ե., Սարգսյան Յու, Լ. Ստակյան Մ. Գ., Տեր-Ազարև Ի. Ա., Փինասյան Վ. Վ. (պատ. խմբագրի տեղակալ), Պատարիանատու ջարտուցար Ստեփանյան Ձ. Կ.

РЕДАКЦИОННАЯ КОЛЛЕГИЯ

Касьян М. В. (ответ, редактор), Адонц Г. Т. (зам. ответ, редактора), Алексеевский В. В., Ананян А. К., Акопян Р. Е., Задоян М. А., Пинаджин В. В. (зам. ответ, редактора), Саркисян К., Т., Стакян М. Г., Тер-Азарьев И. А. Ответственный секретарь Степанян З. К.

Відридрис Руші і ішидій і іріші-18, Виріцийні Руші фид. - 14. Апрес редакции: Ереван-19, ул. Барскамутян, 241.

правир, префа XXXIII, № 4, 1980 Серия технических наук

МАШИНОСТРОЕНИЕ

М. В. КАСЬЯН, Т. Б. БАГДАСАРЯН, С. С. МЕСРОИЯН

об одном методе оптимизации параметров процесса резания по непрерывному изнашиванию инструмента

 Одним из гланиму факторов, влияющих на качество обработачной приности и точность деталей, является износ режущего инструмени, юторыя наряду с другими критериями оптимизации процесса реняя широко применяется в машиностроский.

Однако, до евх пор иселедователями не использованы методы опти-📆 вачни параметров резания по пепрерывному изпосу, за исключением жботы [1].

Сложность методики, предложенной в [1], заключается в установвалимосвязи между величинами издоса и многочисленными паиметрами условий резания, осуществление которой нецелесообразно **И пономической точки эрения.**

На основе работы [1] методика исследования нами несколько изпанена и предложена повая методика, суть которой заключается в сле-**Мантем**:

 величина непрерывного износа h_{и, м.} рассматривается как сумма \mathbf{m}_{VX} слагаемых $h_{\mathsf{T},\mathsf{V}}$ и h_{T}

$$h_{n, \text{M}} = h_{t, \text{Y}} + h_{t},$$
 (1)

Ат. у. - износ, записящий от соотношения телесных углов $\alpha = \arccos \frac{P}{P}$ и $\alpha = \arccos \frac{P}{P_{ad}}$; м—износ, характеризующийся виенением силы резвиня в течение определенного времени обра-BOTKII E

б) величина непрерывного износа рассматривается в зависимости m параметров резаиня V, S и t:

$$h_{n,+} = f(V, S, t);$$
 (2)

- 1

в) проводятся оныты по статистическому методу влаширования в проком дианазоне режимов резания V, S, i и по уравнению (1) опре**минотся знач**ения непрерывного износа $h_{0,0}$.

Полученные расчетные значения $h_{u,u}$, по регрессионному анадыу связываются с параметрами резания V, S, t и с учетом ограничений израметров, оптимизируется процесс резания методом линейного программирования [2].

Данная методика основана на том, что с течением времени т существенно изменяются составляющие силы резания P_2 , P_3 и $P_{1,1}$ вследствие износа инструмента по задией грани. Принимая значения состаляющих силы резания до износа за R_1 , а после определенного времен $\tau = R_2$, по уравнению [3] получаем следующую зависимость:

$$R_2 = R_1 = q_N \mu f_1,$$

где — нормальное давление, которое определяется по [3] (табл.); р — коэффициент трения между стружкой и передней гранью резда (табл.); f_1 — илощадь износа по задней грани:

$$f_1 = h \left(\frac{1}{\sin \varphi} + r \lg \frac{\varphi}{2} + S \right).$$

При $\varphi = 90^{\circ}$ и r = 0:

$$f_1 = h. \ (t + S). \tag{5}$$

Из выражений (3) и (5) получаем:

$$R_2 - R_1 = q_N \mu h_1 (t + S).$$

Обозначив $R_1 = R_2 = R$ и $q_N' p = c$, получаем:

$$h_c = \frac{R}{c(t + S)}$$
(7)

Второе слагаемое h_{∞} , предлагается определять значениями телесингуглов α_0 и α_0' [1]. Исследования показывают существование зависимости между статистическими средними значениями телесиых углов в износом виструмента. Установлено, что при резании инструментом с определенной геометрией режущей части, значения телесных углов пропорциональны износу инструмента по задней грани. Найдено, что в первом приближении: $h_{\infty y} = kh_{\infty}$, где k_1 — соотношение двух телесингуглов α_0 и α_0' .

Исходя из вышензложениюто, можно написать:

$$h = \frac{\arccos \frac{P}{P}}{\arccos \frac{P}{P_{ab}}} \cdot h. \tag{8}$$

Объединяя значения износа $h_{\tau,y}$, и h_{τ} в (1), получаем:

$$h_{\text{m.w.}} = \frac{R}{c(t+S)} \left(1 + \frac{\arccos \frac{P_z}{P_{ob}}}{\arccos \frac{P_y}{P_{ob}}} \right)$$
 (9)

Данивя методика позволяет без сиятия инструмента, для измеизноса по задней грани, установить его величину расчетным для этой методики разработан способ оптимизации по зарянее исному плану исследования [4] при использовании метода факторпо планирования. По данному плану изучается непрерывный износ иструмента в широком циапазоне изменения параметров резания, т. е. прававливается взаимосвязь между $h_{n,n}$ и V, S, t по (2).

Таблица

lkuu	Значения э и д _М									
S	Ctass 0		Сталь 18ХНВ		Сталь У8А		Сталь 45		Сталь 40Х	
and.	74	q_N	ly.	q_N	13,	q_N	μ	q_N	(n	q_N
0,1	0,8	30	0,65	120	0.77	80	0,7	40	0,58	55
0,15	0,79	28	0,63	115	0.75	78	0.68	37	0,55	52
0,21	0,78	25	0,62	110	0,73	72	0,67	35	0,52	50
0,5	0,75	23	0,58	105	0.7	68	0,64	3.3	0,5	46
0.4	0.7	22	0.53	100	0,65	64	0,59	31	0.5	43
11.5	0,65	21	0.48	95	0.6	60	0,54	29	0,48	40
9.2	0.62	18	0.45	80	0,55	55	0.5	27	0,45	35
3.0	0.6	16	0,42	65	0,53	50	0.48	25	0.43	30
									}	

Плестно, что составляющие силы резания в зависимости от режирезания резко меняются. Для каждого опыта, определяя величины во уравнению (9), можно установить его связь с режимами резана математическая молель которого представляется в виде:

$$h_{s,s} = C_{s,s} V^{s_s} S^{s_s} t^{s_s}. \tag{10}$$

Зиписывая уравнение (10) в регрессионном виде:

$$y = b_1 x_1 + b_2 x_2 + b_3 x_3 + b_{12} x_1 x_2 + b_{13} x_1 x_3 + b_{23} x_2 x_3 + b_{123} x_1 x_2 x_3$$
 (11)

обределяя неизвестные коэффициенты регрессии по матрице планинами, можно представить уравнение (10) в окончательном виде.

В польнейшем, учитывая ограничения параметров резания и возрожности станков, составляется уравнение линейного программировата [3] и решая на ЭВМ, получаются оптимальные параметры условий резаиня. Такая оптимизация, схема которой приведена на рис. 1. назывнется внешней.

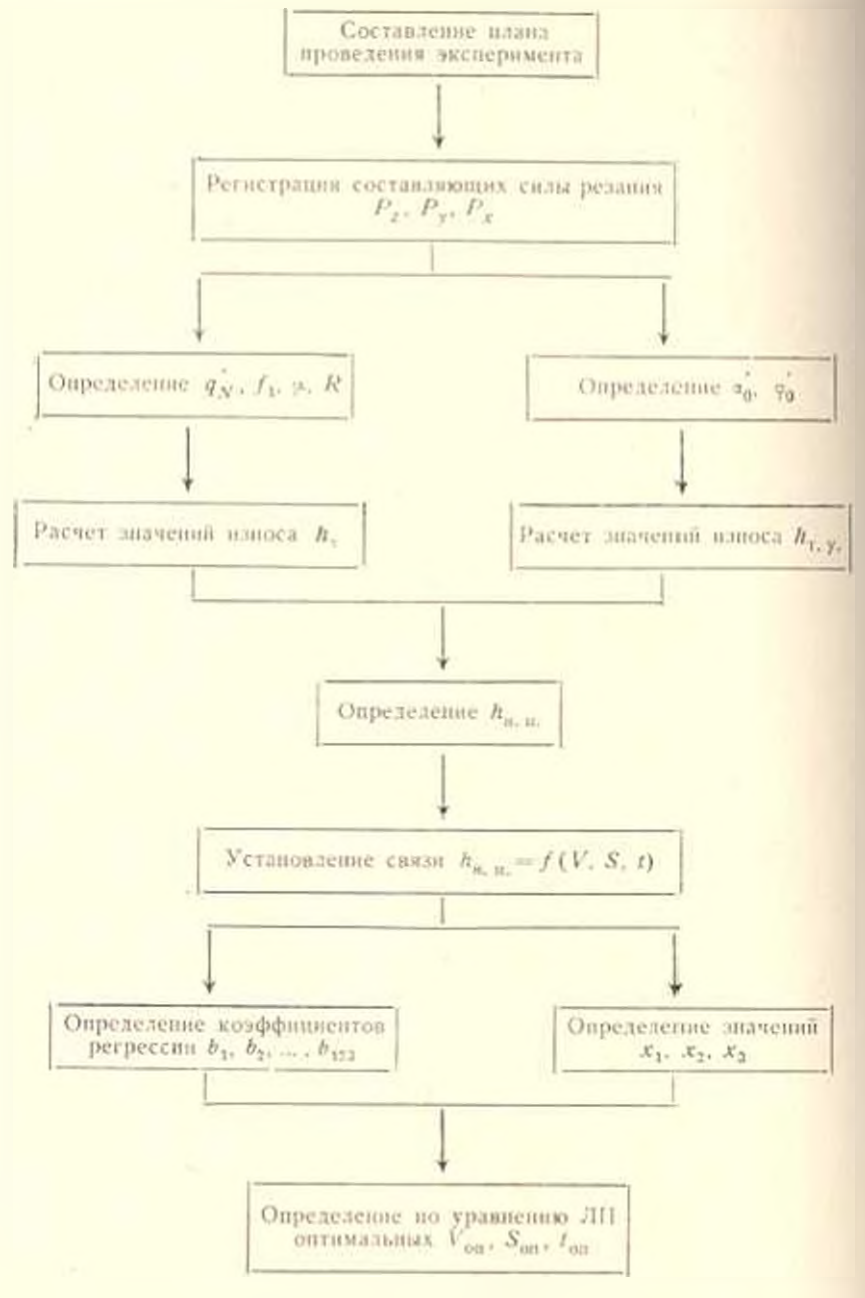


Рис. 1. Схема вненией оптиналини.

Нами разработан и другой критерий оптимизации, который деподияет первый и определяется по экономии или стоимости обработки.

За целевые функция при оптимизации процесса обработии по работе [1] принимаем следующие функции.

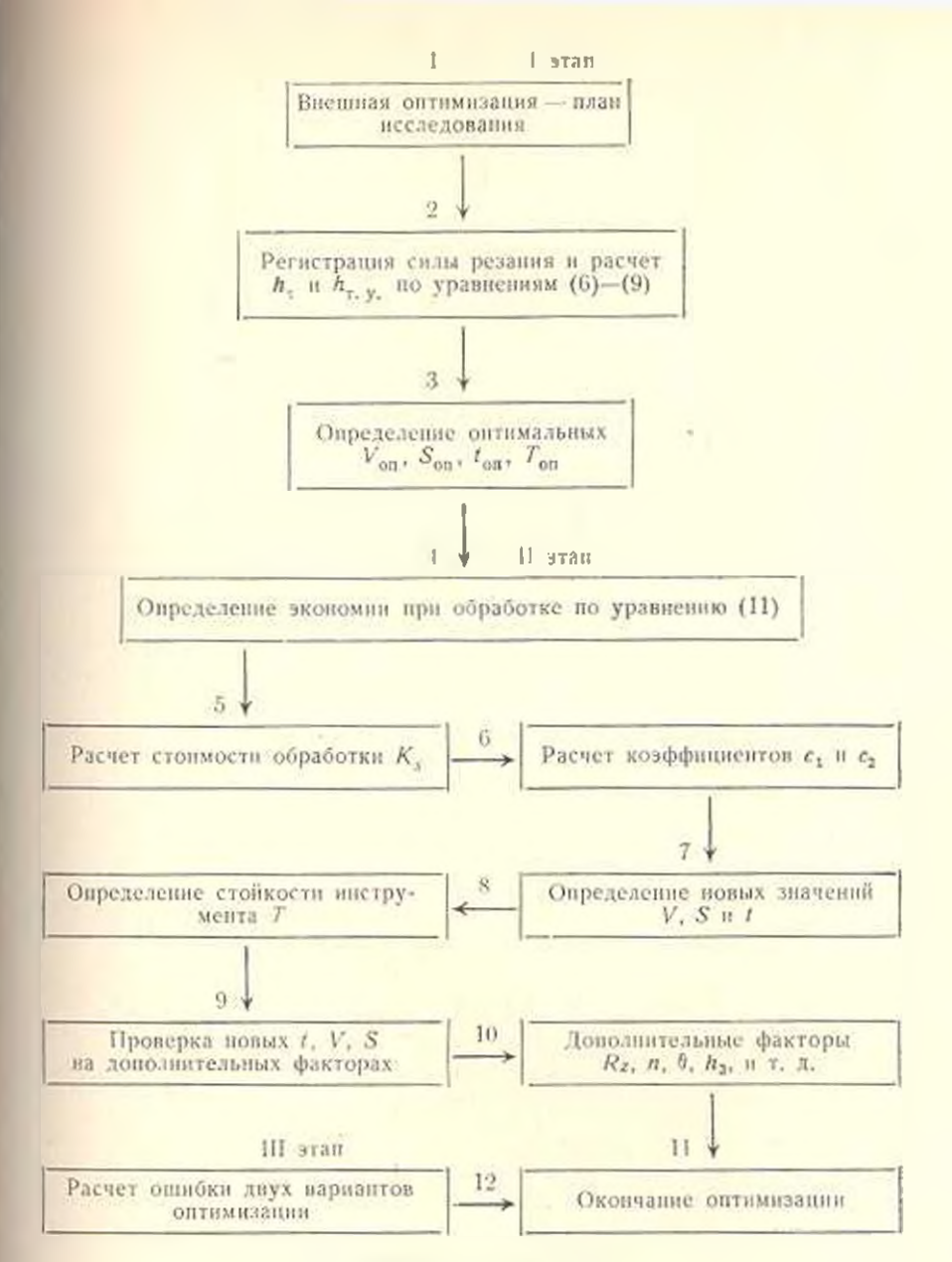


Рис. 2. Схема оптимизации.

1. Экономия при обработке:

$$E = \frac{E_0 R_0}{\ell_{\text{BH}}}$$
 (12)

где E_0 — общая экономия в кол; K_1 — стоимость обработки в кол, которая определяется по формуле:

$$R_k = \frac{c_k}{V \cdot S} + \frac{c_k}{V \cdot S \cdot T}; \qquad (13)$$

 \mathcal{L}_1 , \mathcal{C}_2 — постоянные целевой функции, соответствующие обработке одной детали и учитывающие стоимость металлорежущего станка, инструмента и зарилату; T —стойкость инструмента и мин:

$$T = C_\tau V^{z_1} S^{z_2} t^{z_3}; \tag{14}$$

tmr - штучное время или время обработки в мин:

$$t_{-} = \frac{A}{S \cdot V} + t_1 + \frac{A}{V \cdot S \cdot T} + t_2 \tag{15}$$

A — постоянная целевой функции, «время обработки»; t_1 — машивное время; t_2 — вспомогательное время.

2. Дополнительные факторы; мощность металлорежущем станка; прогиб детали; при пон чисел оборотов; подача; глубича зания; стоикость инструмента и т. д.

Предлагаемая программа онтимизации обеспечинает корректировку оптимальных значений $V,\,S,\,I$ и получение новых значений режимов резания, которые являются окончательными.

Схема оптимизации по второму критерию, с учетом внешней оптимизации, приводится на рис. 2.

Выводы

- Пропесс резання можно оптимизировать по непрерывному наносу инструмента.
- 2. Без каких-либо метрологических измерений инструмента можно определить непрерывный износ расчетным путем

ВНИПРИ

Поступило 7.11.1980.

Մ. Վ. ԿԱՍՅԱՆ, Հ. Բ. ԹԱՂԳԱՈԱՐՅԱՆ, Ո. Ս. ՄԵՍԲՈՊՅԱՆ

ԿՏՐՄԱՆ ՊՐՈՑԵՍԻ ՊԱՐԱՄԵՏՐԵՐԻ ՕՊՏԻՄԻԶԱՑՄԱՆ ՄԻ ՄԵՐՈԳԻ ՄԱՍԻՆ՝ ԸՍՏ ԴՈՐՕԻՔԻ ԱՆՐՆԴՀԱՏ ՄԱՇՄԱՆ

Աշխատանքում առաջարկված է նոր մեթքոց, ըստ որի 6 ժամահակի ընքացրում կարման ուժերի փոփոխությունը հետևանք է զառնում կարիլի հանվի հիստով անքնց, ատ ժաշժանը։ Տվ այ մեթոցը հնարավորություն է տայի առանց կարիշի կարի արևից հանելու, նաևի հիստի վրա չափել ժայման մեծությունը և հետացայում որոշել այդ մեծության չափը հաշվարկման միջոցով։ Օգտագործելով պլանավորման դործոնային մանեմատիկական հղանակը, արտիմացվում է կտրման դործող պարամետրերը, ընդուննլով որպես դնահաման միջոց անընդնատ մաշման չափը։ Առաջարկվում է օպտիմիզացման ադիր, որը ապանովվում է կարդավորելու ստացված կարման ռեժիմների տրմալ նշանակուն լունները։

ЛИТЕРАТУРА

- Отямизация процесса резания на основания непрерывного изпоса инструмента.
 «Режущие инструменты». Экспресс-ииформация, № 37, 1976.
- 1. Касьян М. В., Багдасарян Г. Б., Арзуманян Л. И. Объемная теформация стружки, вак показатель определения обрабатываемости «Известия АН АрмССР (серия Т. Н.)», т. XXX, № 5, 1977.
- 1. Ворев И. И. Расчет проекции силы резавия. М.: Маштиз. 1958.
- 4. Багдасарям Г. Б., Геворкии Л. О. Методика применения факторного планирования при резанки металлон. «Сб. мат. X конф. Лен. фил. ЕрПП (техм. науки)», ч. 3. Ленинакан, 1976.

Shhahhahma выгра XXXIII, № 4, 1980 Серия технических наук

ЭНЕРГЕТИКА

И. И. ШАРАБХАНЯП

АЛГОРИТМ РАСЧЕТА УСТАНОВИВШЕГОСЯ РЕЖИМА ЭНЕРГОСИСТЕМ, ВХОДЯЩИХ В ЭНЕРГООБЪЕДИНЕНИЕ, С УЧЕТОМ ОРГАНИЧЕНИЯ НА МОЩНОСТИ **МЕЖСИСТЕМНЫХ ПЕРЕТОКОВ**

По мере развития электрических систем и их объединений межсистемные связи (МС) приобретают новую важную роль и электроснабжения. Это выражается, в чястности, в обеспечении бесперебойного электроснабжения потребителей энергосистем (ЭС), ихолящих в энергообъединение (ЭО) как в вормальных, так и в аварийных режимах. В связи с этим, в расчете установившегося режима ЭС необходимо учесть ряд ограничений, налагаемых на режимные параметры МС.

В предлагаемой работе излагается алгоритм расчета установившегося режима ЭС, иходящих и ЭО, методом разделения [1-4] последиего на несвязанные ЭС, в основу которого лежит регулирование потоков мошностей по МС в пределах заданных ограничений. Предполагается, что в ЭО имеются узлы, регулированием мощностей которых обеспечиваются необходимые перетоки мощностей по МС; в каждой ЭС имеется ЦВМ, которая может решать задачу установившегося режима ЭС с определенными подробностями. Дополнительные вычисления, учитывающие влияние на общее решение взаимных соединений ЭС, могут быть выполнены одной из ЦВМ ЭС или специальной ЦВМ, предиазначенной для этой цели.

Постановка задачи. Заданы активные в и реактивные в проводимости ветвей схемы замещения ЭО, активные Р и реактивные Q мощности в нерегулируемых узлах, регулируемые узлы, производящие регулирование по активным и реактивным или по активным или реактивным мощностям, базисный узел с напряжением $U_{\mathbf{0}}$.

Расчет установившегося режима ЭС сводится к определению одного на возможных допустимых режимов, удовлетворяющих условиям:

Q with
$$Q_{s, min} \in Q_s$$
 $Q_{s, min} \in Q_s$ where $Q_{mb, min} \in Q_s$ $Q_{mb, min} \in Q_s$ $Q_{mb, min} \in Q_s$ $Q_{mb, min} \in Q_s$

где $P_{\rm r},~Q$ и $P_{\rm o},~Q_{\rm e}$ — активная и реактивная мощности, соответственно, регулируемого и бялансирующего узла; P_{mk} и Q_{mk} — потоки активной и реактивной мощностей по МС.

Алгоритм решения. 1. ЭО расчленяется по МС на несвязанные ЭС. В каждой ЭС выделяется опорный узел.

- 2. Составляется матрина Y узловых проводимостей и определяется матрица Z узловых сопротивлений ЭС относительно опорного узла.
- 3. Задавшись приближенными значениями напряжений в узлах решаются уравнения

$$\dot{U}_{m(n)} = Z_n \frac{\delta}{t/t_n} \tag{2}$$

и определяются напряжения в узлах ЭС $U_{m(n)}$ от токов нерегулируемых узлов \hat{S}_n/\hat{U}_n , при $\hat{U}_p=\hat{U}_0=0$ (U_p — напряжение опорного узла). Z_n получается из матрицы Z ЭС, если оставить в ней етолбцы, относящиеся к перегулируемым узлам.

4. Падения напряжений в МС от токов перегулируемых узлов:

$$\Delta \dot{U}_{\rm w} = -\sum_{\rm L} C_{\rm wc} \cdot \dot{U}_{\rm c\,(e)},\tag{3}$$

где p — номера ЭС; C_{NC} — матрица соединений токов МС с узлами связей ЭС; U_{NC} — напряжения в узлах МС от токов перегулируемых узлов ЭС.

- 5. Рассечение МС приводит к прекращению потокообмена между ЭС, так, что в одних узлах МС будет излишек мощности, и других нехватка. Если компенсировать соответствующие мощности в узлах МС и решать уравнения узловых напряжений изолированиых ЭС, то-получим такое решение, как если бы ЭО не расчленялось на ЭС, а рассматривалось в целом. С целью определения перетоков по МС составляется 2(M+N-1) уравнений с 2(M+N+r-1) неизвестными (M,N,r- числа МС, ЭС и регулирующих узлов в ЭО).
- 6. Задавшись значениями мощностей в регулируемых узлах в пределах соответствующих ограничений по (1), из системы 2(M+N-1) уравнений с 2(M+N+r-1) исизвестными, после исключения мошностей регулируемых узлов и получения системы 2(M+N-1) уравнений с 2(M+N-1) неизвестными, определяются перетоки мошностей во МС и падения напряжений между опорными узлами ЭС и базисным узлов ЭО ΔU_{R} .
- 7. Проверяется условие (1) для мощностей межсистемных перегоков. При нарушении условия (1) для какого-нибудь перетока мощности по МС он фиксируется на соответствующем пределе и один из узлов выбирается для регулирования этого перетока. Остальные регулируемые узлы считаются нерегулируемыми по этому перетоку, мощ-

ности их фиксируются в соответствии с (1). Эти изменения вводятся в систему 2(M+N+r-1) уравнений с 2(M+N+r-1) неизвестнымя, после чего получениям система уравнений решается относительно неизвестных. Этот цикл расчета повторяется до обеспечения (1). При этом, если мощности регулируемых и балансирующего узлов не удовлетворяют (1), го они фиксируются на соответствующих пределах и в дальнейших расчетах не могут быть регулируемыми и балансирующим узлами, а для регулирования перетока мощностей по МС и балансирования режима выбираются новые регулируемые и балансирующий узлы,

8. Дополнительные точки в узлах МС I_c , вызванных токами в МС I_a :

$$I_{c} = C_{CM} \cdot \frac{\dot{S}_{M}}{\dot{U}_{c}};$$

$$C_{CM} = (C_{MC})_{L}.$$
(4)

9. Решаются уравнення

$$\hat{U}_{m(M)} = Z_c \hat{I}_c \tag{5}$$

и определяются узловые напряжения ЭС $\dot{U}_{m,\mathrm{ML}}$ от токов в МС при $\dot{U}_{n}=U_{0}=0,$

 $Z_{\rm e}$ получается из матрицы Z ЭС, если оставить в ней столбцы, относящиеся к узлам МС.

10. Узловые напряження от токов регулируемых узлов \hat{U}_{a} (зафиксированных и подсчитанных в пункте 7), при $\hat{U}_{a} = U_{b} = 0$:

$$\hat{U}_{m(r)} = Z_r \frac{\hat{S}_r}{\hat{D}}. \tag{6}$$

 Z_r получается из матрицы Z_r если оставить в ней столбцы, относящиеся к регулируемым узлам.

11. Результирующие узловые напряжения ЭС:

$$\dot{U}_{m} = \dot{U}_{m(n)} + \dot{U}_{m(n)} + \dot{U}_{m(r)} + \dot{U}_{m(r)} + \Delta \dot{U}_{p} + \dot{U}_{6}. \tag{7}$$

Описанный цикл расчетов повторяется до достижения желаемой точности.

Уравнения МС. Допустим, что через МС: mk, cd, ef, ... протекают точки I_{mk} , \dot{I}_{ed} , \dot{I}_{ef} , где первые пидексы принадлежат одним ЭС, а вторые — другим. Если $\Delta \dot{U}_m$, $\Delta \dot{U}_k$, $\Delta \dot{U}_e$, ... — падеция напряжении между опорными узлами ЭС, к которым принадлежат узлы МС: m, k, c, ... и базисным узлем ЭО, то уравнения МС с учетом п. 11 алгоритма решения можно записать

$$\dot{U}_{I(M)} + \dot{U}_{I(M)} + \dot{U}_{I(I)} + \Delta \dot{U}_{I(I)} + \Delta \dot{U}_{I(M)} - \dot{U}_{J(M)} - \dot{U}_{J(I)} - \Delta \dot{U}_{J} = Z_{IJ} I_{IJ},$$
 (8) где $i = m$, c , e , ...; $j = k$, d , f , ...; $ij = mk$, cd , ef , ...; Z_{IJ} — сопротивления MC.

В (8) напряжения в узлах МС: $\hat{U}_{I(n)}$, $\hat{U}_{J(n)}$ определяются из (2); $\hat{U}_{I(n)}$, $U_{I(n)}$ — из (5) через токи МС; $\hat{U}_{I(r)}$, $U_{J(r)}$ — из (6) через токи регулируемых узлов.

Подставив их значения в (8), получим систему уравнений с неизвестными: токами в МС $I_{\rm x}$; падениями напряжений между опорными узлами ЭС и базисным узлом ЭО $\Delta \dot{U}_p$ и токами регулируемых узлов (I_r). Составим еще уравнения балянса токов и ЭС:

$$\sum I_{y} + \sum \dot{I}_{e} = -\dot{I}_{p}. \tag{9}$$

Объединия (8) и (9) в одну систему, запишем ее в матричном виде:

$$\begin{bmatrix} Z_{w} & Z_{r} & K_{w\rho} \\ K_{\rho w} & K_{\rho r} & 0 \end{bmatrix} = \begin{bmatrix} I_{r} \\ I_{r} \\ \Delta U_{\rho} \end{bmatrix} = \begin{bmatrix} \Delta \dot{U}_{w} \\ -\dot{I}_{\rho} \end{bmatrix}. \tag{10}$$

где $Z_{\rm M}$ — матрица сопротивлении узлов МС относительно опорных узлов ЭС [1]; $Z_{\rm r} = C_{\rm MC} \cdot Z_{\rm Cr}$ — матрица взаимных узловых сопротивлений между узлами МС и регулируемыми узлами.

Элементы Z_{cr} получаются из матриц узловых сопротивлений ЭС пересечением строки с, соответствующей номеру узла МС, со столбцом r, соответствующем номеру регулируемого узла.

 K_{pn} — матрица соединений токов в МС с ЭС; $K_{np} = (K_{pn})_t$; K_{pr} — матрица соединений токов регулируемых узлов в ЭС; I_p — суммарные токи нерегулируемых узлов ЭС, кроме ЭС с базисным узлом:

$$I_{g} = \sum_{\substack{n=1\\ m \equiv 1}}^{n} \left(\frac{\hat{S}_{n}}{\hat{U}_{n}} + Y_{mn} \hat{U}_{m} \right);$$

n — номера нерегулируемых узлов ЭС; Y_{m0} — поперечная проводимость ветви, примыкающая к узлу m.

Так как по постановке задачи ограничения накладываются не на токи, а на активные и реактивные мощности, то с учетом того, что:

$$Z = r + jx; \quad \dot{I} = I' + JI'; \quad \dot{U} = U' + jU''; \quad \Delta \dot{U} = \Delta U' + j\Delta U'';$$

$$I' = \frac{PU' + QU''}{U'^2 + U''^2}; \quad I' = \frac{PU'' - QU'}{U'^2 - U''^2}$$

после соответствующих преобразований (10) получим:

$$\begin{bmatrix}
\frac{Z_{M}U_{M}-X_{M}U_{M}^{'}}{U^{'2}+U^{'2}} & \frac{Z_{U_{M}}+X_{M}}{U_{M}} & \frac{r_{r}U_{r}-X_{t}U_{r}}{U_{r}^{'2}+U_{r}^{'2}} & \frac{R_{up}}{U_{r}^{'2}+U_{r}^{'2}} & R_{up} & 0 \\
\frac{X_{M}U_{M}+r_{M}}{U_{M}^{'2}+U_{M}^{'2}} & \frac{X_{M}U_{M}-r_{M}U_{M}}{U_{M}^{'2}+U_{M}^{'2}} & \frac{X_{r}U_{r}+r_{r}U_{r}^{'}}{U_{r}^{'2}+U_{r}^{'2}} & \frac{X_{r}U_{r}-r_{r}U_{r}}{U_{r}^{'2}} & 0 & K_{up} \\
\frac{K_{p_{M}}U_{M}^{'}}{U_{M}^{'}+U_{M}^{'2}} & \frac{K_{p_{M}}U_{M}}{U_{M}^{'2}+U_{M}^{'2}} & \frac{K_{r}U_{r}^{'}}{U_{r}^{'2}+U_{r}^{'2}} & \frac{K_{r}U_{r}^{'}}{U_{r}^{'2}+U_{r}^{'2}} & 0 & 0 \\
\frac{K_{p_{M}}U_{M}^{'}}{U_{M}^{'}+U_{M}^{'2}} & \frac{K_{p_{M}}U_{M}}{U_{M}^{'}+U_{M}^{'2}} & \frac{K_{r}U_{r}^{'}}{U_{r}^{'2}+U_{r}^{'2}} & \frac{K_{r}U_{r}^{'}}{U_{r}^{'2}+U_{r}^{'2}} & 0 & 0 \\
\frac{K_{p_{M}}U_{M}^{'}}{U_{M}^{'}+U_{M}^{'2}} & \frac{K_{p_{M}}U_{M}}{U_{M}^{'}+U_{M}^{'2}} & \frac{K_{r}U_{r}^{'}}{U_{r}^{'2}+U_{r}^{'2}} & \frac{K_{r}U_{r}^{'}}{U_{r}^{'2}+U_{r}^{'2}} & 0 & 0
\end{bmatrix}$$

$$\begin{bmatrix} P \\ Q_{\nu} \\ P_{r} \\ Q_{r} \\ \Delta U_{\rho} \\ \Delta U_{n} \end{bmatrix} = \begin{bmatrix} \Delta U_{\nu} \\ \Delta U_{M} \\ -I_{\rho} \\ I \end{bmatrix}$$

$$(11)$$

Здесь U' и U'' являются диагональными матрицами.

Решается (11) и определяются соответствующие неизвестные. При этом целесообразно учитывать наличие нулевой подматрицы в (11).

Заметим, что определение неизвестных из (11) методом обращения имеет ислостаток, т. к. приходится в каждом шаге итерации обращать подматрицу в левой части преобразованной системы уравнений (11). Чтобы избежать этого, предлагается следующее решение. Задавшись P_r и Q_r по (1), а следовательно, и I_r и I_r , из (11) определяют неизвестные I_N и I_N , затем проверяют условия:

$$P_{\text{MAIRC}} = (I_{\text{M}} U_{\text{M}} + I_{\text{M}} U_{\text{M}}) \geqslant P_{\text{MMII}}; \quad Q_{\text{MMAIRC}} \geqslant (I_{\text{M}} U_{\text{M}} + I_{\text{M}} U_{\text{M}}) = Q_{\text{MMIII}}.$$

Если нарушены условия по активной и реактивной мощностям, то они фиксируются на соответствующих пределах и, решая систему двух уравнении с двумя исиввестными, определяют предельные составляющие токов (P и P), которые, подставляя в (10), решают систему. Если же нарушено условие по однов из мощностей (по P или Q), то эта мощность фиксируется на этом пределе. Мощность P или Q, которая не вышла за пределы ограничений, задается величиной в пределах ограничений.

Очевидно, что такое решение не адекватно решению по (11).

Пример. Пусть задана система. представленная на рис. 1. Сопротивлення всех ветней равны 1 Ом. величины токов A нерегулируемых узлов указаны на рис., напражение базисного узла- $U_{\rm b}=0$. Регулируе-

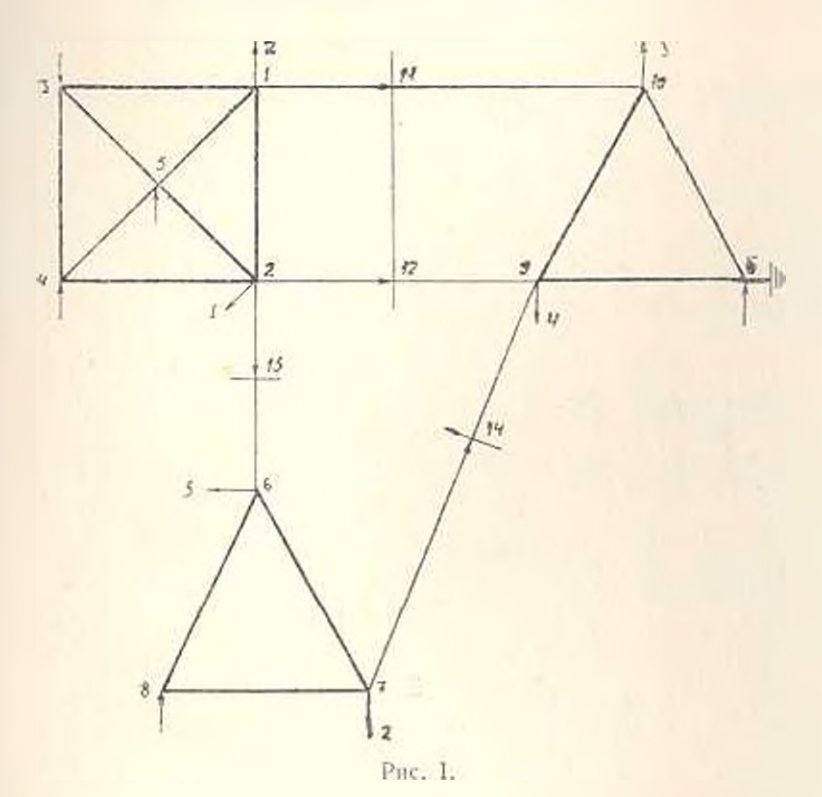
мыми являются узлы 3, 4, 5, 8, базисным — б. На токи регулируемых и базисного узлов наложены ограничения:

$$0 \leqslant I_3 \leqslant 2$$
; $0 \leqslant I_4 \leqslant 1$; $0 \leqslant I_5 \leqslant 5$; $0 \leqslant I_8 \leqslant 4$; $0 \leqslant I_0 \leqslant 5$.

На перетоки по линиям связи подсистем (IIC) наложены ограничения:

$$0.5 \leqslant l_{16} \leqslant 1$$
; $0.5 \leqslant l_{23} \leqslant 2$; $1 \leqslant l_{25} \leqslant 1.5$; $0 \leqslant l_{45} \leqslant 0.5$.

1. Система рассекается по линиям связи на три ПС. Опорными пусть являются узлы: 5 в 1 ПС; 8 во 11 ПС и б в III ПС.



2. Составляются матрицы У узловых проводимостей и определяются матрицы Z узловых сопротивлений ПС:

$$Y_{ij} = \begin{bmatrix} 3 & -1 & -1 & 0 \\ -1 & 3 & 0 & -1 \\ -1 & 0 & 3 & -1 \\ 0 & -1 & -1 & 3 \end{bmatrix}; \qquad Y_{ij} = Y_{iji} = \begin{bmatrix} 2 & -1 \\ -1 & 2 \end{bmatrix};$$

$$Z_{ij} = \frac{1}{15} \begin{bmatrix} 7 & 3 & 3 & 2 \\ 3 & 7 & 2 & 3 \\ 3 & 2 & 7 & 3 \\ 2 & 3 & 3 & 7 \end{bmatrix}; \qquad Z_{ij} = Z_{ijj} = \frac{1}{3} \begin{bmatrix} 2 & 1 \\ 1 & 2 \end{bmatrix}.$$

3. Узловые напряжения от токов перегулируемых узлов:

$$U_{m(n)}^{t} = \frac{1}{15} \begin{bmatrix} -17 \\ -13 \\ -8 \\ -7 \end{bmatrix}; \qquad U_{m(n)}^{t} = \frac{1}{3} \begin{bmatrix} -8 \\ -7 \end{bmatrix}; \qquad U_{m(n)}^{tt} = \frac{1}{3} \begin{bmatrix} -11 \\ -10 \end{bmatrix}.$$

4. Падения наприжений в линиях связи ПС от токов нерегулирусмых узлов:

$$\Delta U_{\rm M} = \frac{1}{15} \begin{bmatrix} 33\\42\\27\\20 \end{bmatrix}; \qquad C_{\rm MC}^{\rm L} = \begin{bmatrix} -1 & 0\\0 & -1\\0 & -1\\0 & 0 \end{bmatrix};$$

$$C_{\rm MC}^{\rm H} = \begin{bmatrix} 0 & 0\\0 & 0\\1 & 0\\0 & -1 \end{bmatrix}; \qquad C_{\rm MC}^{\rm HI} = \begin{bmatrix} 0 & 1\\1 & 0\\0 & 0\\1 & 0 \end{bmatrix}.$$

5. Составляются подматрицы уравнений (10):

$$Z_{\text{M}} = \begin{vmatrix} \frac{1}{15} \begin{bmatrix} 32 & 8 & 3 & 5 \\ 8 & 32 & 7 & 10 \\ 3 & 7 & 32 & -5 \\ 5 & 10 & -5 & 32 \end{bmatrix}; \qquad Z_{\text{f}} = \frac{1}{15} \begin{bmatrix} 0 & -3 & -2 & 0 \\ 0 & -2 & -3 & 0 \\ 0 & -2 & -3 & 0 \\ 0 & 0 & 0 & 0 \end{bmatrix};$$

$$K_{\text{MM}} = \begin{bmatrix} -1 & 0 \\ -1 & 0 \\ -1 & 1 \\ 0 & -1 \end{bmatrix}; \qquad K_{\text{pM}} = \begin{bmatrix} -1 & -1 & -1 & 0 \\ 0 & 0 & 1 & -1 \end{bmatrix};$$

$$K_{\text{FM}} = \begin{bmatrix} 1 & 1 & 1 & 0 \\ 0 & 0 & 0 & 1 \end{bmatrix}; \qquad I_{\text{p}} = \begin{bmatrix} -3 \\ -5 \end{bmatrix}.$$

Вычисленные и составленные подматрицы объединяются в матричпос уравнение:

$$\begin{bmatrix} 32 & 8 & 3 & 5 & 0 & -3 & -2 & 0 & -15 & 0 \\ 8 & 32 & 7 & 10 & 0 & -2 & -3 & 0 & -15 & 0 \\ 3 & 7 & 32 & -5 & 0 & -2 & -3 & 0 & -15 & 0 \\ 5 & 10 & -5 & 35 & 0 & 0 & 0 & 0 & 0 & -15 \\ -15 & -15 & -15 & 0 & 15 & 15 & 15 & 0 & 0 & 0 \\ 0 & 0 & 15 & 15 & 0 & 0 & 0 & 15 & 0 & 0 \end{bmatrix} \begin{bmatrix} J_{110} \\ J_{29} \\ J_{20} \\ J_{5} \\ J_{4} \\ J_{8} \\ \Delta U_{11} \\ \Delta U_{11} \end{bmatrix}$$

6. Задавшись токами в регулируемых узлях в пределах заданных ограничений $I_1 = 2$, $I_2 = 1$, $I_3 = 5$, $I_4 = 4$, получим:

$$\begin{bmatrix} 32 & 8 & 3 & 5 & -15 & 0 \\ 8 & 32 & 7 & 10 & -15 & 0 \\ 3 & 7 & 32 & -5 & -15 & 15 \\ 5 & 10 & -5 & 35 & 0 & -15 \\ 15 & -15 & -15 & 0 & 0 & 0 \\ 0 & 0 & 15 & -15 & 0 & 0 \end{bmatrix} \begin{bmatrix} I_{110} \\ I_{29} \\ I_{28} \\ I_{19} \\ \Delta U_{11} \end{bmatrix} \begin{bmatrix} 41 \\ 49 \\ 34 \\ 20 \\ \Delta U_{11} \end{bmatrix}$$

пікуда определяются:

$$\left\| \frac{I_{\text{L}}}{\Delta U_p} \right\|_{L} = \left[I_{\text{LD}} I_{\pm} I_{26} I_{\pm} \Delta U_{1} \Delta U_{11} \right] = \frac{1}{1449} \left[2621 \ 2697 \ 1917 \ 468 \ 3630 \ 1198 \right].$$

7. Как видно, только $I_{16}=\frac{2631}{1449}>1$ не удовлетворяет заданному ограничению. Фиксируем $I_{16}=1$ и выделяем узсл 5 в качестве регулируемого для обеспечения этого персгока. Узлы 3, 4 и 8 считаем персгулируемыми, токи их фиксируем: $I_4=2$; $I_4=1$; $I_4=4$. Введя эти изменения в матричное уравиение, определяем:

$$[I_{20} \ I_{28} \ I_{-1} \ I_{5} \ \Delta U_{1} \ \Delta U_{11}] = \frac{1}{657} [753 \ 693 \ 36 \ 2103 \ 158 \ --302].$$

8. Дополнительные токи в узлах линий связей ПС, вызванных токами, протекающими в этих линиях:

$$I_{c}^{1} = \frac{1}{657} \begin{bmatrix} -657 \\ -1446 \end{bmatrix}; \quad I_{c}^{11} = \frac{1}{657} \begin{bmatrix} 693 \\ -36 \end{bmatrix}; \quad I_{c}^{111} = \frac{1}{657} \begin{bmatrix} 657 \\ 789 \end{bmatrix}.$$

9. Уаловые напряжения от токов в линиях связи ПС:

$$U_{m \text{ (M)}}^{\text{I}} = \frac{1}{15 \cdot 219} \begin{bmatrix} -2479 & 4031 & -1631 & -1834 \end{bmatrix}_{t};$$

$$U_{m \text{ (M)}}^{\text{II}} = \frac{1}{73} \begin{bmatrix} 50 \\ 23 \end{bmatrix}; \qquad U_{m \text{ (M)}}^{\text{III}} = \frac{1}{657} \begin{bmatrix} 745 \\ 701 \end{bmatrix}.$$

10. Узловые напряжения от токов регулируемых узлов:

$$U_{m(t)}^{1} = \frac{1}{15} [8 \ 7 \ 17 \ 13]_{t}.$$

11. Результирующие узловые напряжения ПС:

$$U_{m}^{1} = \frac{1}{657} \left[-832 - 911 \ 228 \ 44 \right]_{i}; \qquad U_{m}^{11} = \frac{1}{657} \left[\frac{-1604}{-1628} \right];$$

$$U_{m}^{11} = \frac{1}{657} \left[\frac{-1664}{-1489} \right].$$

Во всех вышеприведенных выражениях t - транспонирование матрицы.

- 1. Алгоритм расчета установившегося режима ЭС, входящих в ЭО, основан на методе деления схемы ЭО на изолированные ЭС с возможностью регулирования потоков мощностей по МС.
- 2. Если поток мощности по МС выходит за допустимые пределы, то он фиксируется на соответствующем предельном значении и мощность узла, регулирующего этот переток, определяется непосредственно, в отличие от применяемых на практике управления режимами ЭС метода перебора мощностей регулирующих станций.
- 3. Запись уравнений баланса токов (9), которая рекомендуется по [4] вместо баланса мощностей, не освобождает от нежелательной процедуры многократного обращения матрицы при наступлении ограничений на активную или реактивную мощность перетока по МС.

АрмНППЭ

Поступило 8.VII.1979

Ի, Ի, ՇԱՐԱՌԽՈՒՅԱՆ

ԷՆԵՐԳԱՄԻԱՎՈՐՄԱՆ ՄԵԶ ՄՏՆՈՂ ԷՆԵՐԳԱՀԱՄԱԿԱՐԳԵՐԻ ՀԱՍՏԱՏՎԱԾ ՌԵԺԻՄԻ ԱԷԳՈՐԻԹՄԸ՝ ՀԱՇՎԻ ԱՌՆԵԼՈՎ ՄԻՋ– ՀԱՄԱԿԱՐԳԱՅԻՆ ՀԶՈՐՈՒԹՅՈՒՆՆԵՐԻ ՀՈՍՔԵՐԻ ՎՐԱ ԳՐՎԱԾ ՍԱՀՄԱՆԱՓԱԿՈՒՄՆԵՐԸ

Ամփոփում

Առաջարկվում է էներգաժիավորման (էՄ) հաստատված ռևժիմի (ՀՈ) հաշվարկի ալդորինմը՝ էՄ չկապակցված էներգահամակարգերի (ԷՀ) տրոհժան մեննորով միջհամակարգային կատիրով (ՄԿ) հղորունյան հոսընտի կարդավորման հնարավորունյամբ։ Կազմվում են ՄԿ-երի և ԷՀ-երի հավասարումները, որոնր արտահայտում են կատը առանձին ԷՀ-երի հանդութային պարամնարների միջև։ Ընդուննլով կարգավորելի հանդույցների հղորունյանները սահմանափակումների տրված սահմաններում և լուծելով այս հավատում կարդավորվում են Հոսըերը ՄԿ-երում, որոնը անհրաժեշտության դեպըում կարդավորվում են։

էՀ-որի ՀՈ-ները որոշվում են նրա կարգավորվող, չկարդավորվող հանդույցների և ՄԿ-երի ռեժիմների վերադրումով։

ЛИТЕРАТУРА

Крон Г. Иселедование еложных систем по частям-ликоптика. М., «Наука», 1972.
 Адонц Г. Т. Алгоритм расчета установившихся режимов электрической системы,

разделенной на многолодюєники, «Известия АН СССР, Епергетика и гранспорт».
1971, № 1.

3. Амирикан Р. Л., Шарабхинян И. П. Об одном алгорятме установившегося режима инергосистем, входящих и энергообъединение, «Известия АП АрмССР (серий Т. Н.)», т. XXXII, № 1, 1979.

 Кузьмин Я. Ф., Махнитко А. Е. Расчет электрических сетей при заданных мощностях и узлах методом разбиения на подсхемы. «Электричество», 1972, № 5.

ЭЛЕКТРОТЕХНИКА

В. С. САФАРЯН

КОРРЕКЦИЯ Z-МАТРИЦЫ ОБОБЩЕННЫХ ПАРАМЕТРОВ ЭЛЕКТРИЧЕСКИХ СИСТЕМ ПРИ ИЗМЕНЕНИИ КОМПЛЕКСИЫХ КОЭФФИЦИЕНТОВ ТРАНСФОРМАЦИИ

Введение. С развитием сетей 220—500 кВ все больший интерес представляют методы расчета установившихся режимов с учетом провиныю-поперечного регулирования коэффициентой грансформации грансформаторов, связывающих сет и с различными поминальными напряжениями.

При последовательном включении в контур сети трансформаторов с различными группами соединений коэффициент трансформации выражается комплексным числом. Комплексным может быть также результирующий коэффициент трансформации при включении вольгодобавочного трансформатора или при наличии, так называемых, поперечных регулирующих трансформаторов.

При наличии в сети грансформаторов с комплексиыми коэффишентами трансформацый матрица узловых проводимостей и Z-матрица обобщенных параметров получаются несимметричными.

При многократных расчетах установившихся режимов, проводимых для оптимизации режимов по коэффициентам грансформации, с изменением любого из коэффициентов трансформации трансформатороз требуется пересчет Z-матрицы обобщенных параметров электрической системы.

Целью данной работы является разработка методов корр кцин Z-матрицы обобщенных параметров при изменении комплексных коэффициентов трансформации трансформаторов.

Решение задачи. Комплексные коэффициенты трансформаций учизамещения грансформатора, состоящей из сопративления рассеяния и плеального автотрансформатора (бсз потерь) [1—3]. Сопротивление расссяния грансформатора приводится к ступени напряжения узла, к которому око отнесено. Обычно сопротивление рассеяния приводится к высокой ступени напряжения (рис. 1).

В смеме замещения трансформатора с комплексным коэффициентом трансформации (рис. 1) для узлов р и q, соответственно, имеем:

$$\begin{cases}
I_p = \sum I_p + Y_{\tau_p} \cdot \frac{U_p - KU}{|K|} : \\
I_d = \sum I_d - Y_{\tau_p} \cdot \frac{U_p - KU_q}{|K|}.
\end{cases}$$
(1)

тде I_q — задающие токи, соответственно, узлов p и q; $\sum I_p$, $\sum I_q$ — сумма токов ветвей, примыкающих к узлам p и q; $Y_{\tau p}$ — проводимость трансформатора; K= — коэффициент трансформации.

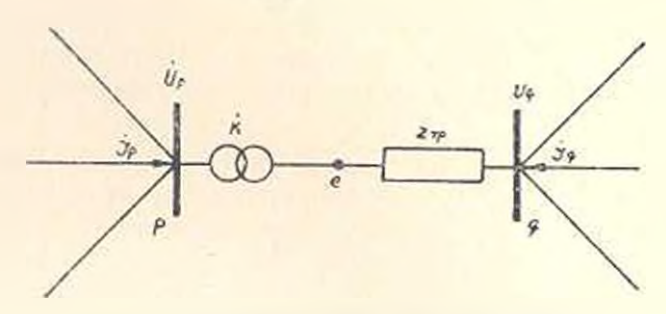


Рис. 1. Схема замещения грансформатора.

Исходя на (1), для соответствующих элементов матрицы узловых проводимостей имеем:

$$\begin{cases}
\dot{Y}_{pp} = \sum_{k} \dot{Y}_{pk} + \frac{\dot{Y}_{\tau p}}{|\dot{K}|^{2}}; \\
\dot{Y}_{pq} = -\frac{\dot{Y}_{\tau p}}{\dot{K}}; \\
\dot{Y}_{qp} = -\frac{\dot{Y}_{\tau p}}{\dot{K}}; \\
\dot{Y}_{qq} = \sum_{k} \dot{Y}_{qk} + \dot{Y}_{\tau p},
\end{cases} (2)$$

где $\sum Y_{\rho k}$, $\sum Y_{ik}$ сумма проводимостей ветвей, примыкающих к узлам p и q.

Для коррекции Z-матрицы обобщенных параметров электрических систем при изменении комплексных коэффициентов трансформации сначала скорректируем матрицу узловых проводимостей [4]:

$$Y' \Rightarrow Y - \Delta Y$$
, (3)

где Y, Y'— исходная и скорректированная матрицы уэловых проподимостей; ΔY — матрица, учитывающая изменение в схеме.

Далее, простыми преобразованиями получаем:

$$(Y - \Delta Y) \cdot Z' = E; \quad (E - Z \cdot \Delta Y) \cdot Z' = Z; \quad Z' = (E - Z \cdot \Delta Y)^{-1} \cdot Z$$

нли

$$Z' = A \cdot Z,\tag{4}$$

THE

$$A = (E - Z \cdot \Delta Y)^{-1}; \tag{5}$$

Е- единичная матрица.

При раскрытии последнего матричного выражения выяснилось, что матрицу А можно формировать автоматически. При этом необжодимо учесть следующие два случая.

 в) Вершины р и q, между которыми расположен трансформатор с комплексным коэффициентом трансормации, ис являются базисными чэлами.

Матрица А получается следующей структуры:

$$A = \begin{bmatrix} 1 & a_{1q} & 0 & a_{1q} & 0 \\ 0 & a_{2p} & 0 & a_{2q} & 0 \\ \vdots & \vdots & \vdots & \vdots & \vdots \\ 0 & a_{qp} & 0 & a_{qq} & 0 \\ \vdots & \vdots & \vdots & \vdots & \vdots \\ 11 & a_{np} & 0 & a_{nq} & 1 \end{bmatrix}$$
 (6)

В магрице А отличны от нуля только элементы столбов р и q и главной двагонали:

$$\begin{aligned} a_{ii} &= 1; \quad i \neq p, \ q; \\ a_{pp} &= (1 + \Delta Y_{pq} \cdot Z_{qp}) - Y_{qq} \cdot Z_{qp} - Z_{qp}$$

где ΔY_{pp} , ΔY_{pq} , ΔY_{qp} , ΔY_{qq} — изменение соответствующих элементов матрицы узловых проводимостей.

Если в ветви с вершинами p, q трянсформатор отключается, то для коррекции Z-матрицы веобходимо в формулах (7) вместо ΔY_{pp} ,

ДУ_{вот} № и № поставить соответствующие элементы матрицы узловых проводимостей.

б) Одна из вершин, примыкающих к трансформатору, является базисным узлом (трансформатор находится между узлами $\mathcal{B}\mathcal{Y} = q$):

$$A = \begin{bmatrix} 1 & a_{1q} & 0 & 0 \\ 0 & a_{qq} & 0 & 0 \\ 0 & a_{nq} & 0 & 1 \end{bmatrix}$$
 (8)

В матрице А отличны от нуля только элементы столбца q и главпой диагонали:

$$\begin{cases} a_{ii} = 1; \\ a_{qq} = 1/D; \\ a_{tq} = \Delta & Z_{qq} \\ D = 1 - \Delta Y_{qq} \cdot Z_{qq}. \end{cases}$$

$$(9)$$

где ΔY_{qq} изменение соответствующего диагонального элемента матрицы узловых проводимостей.

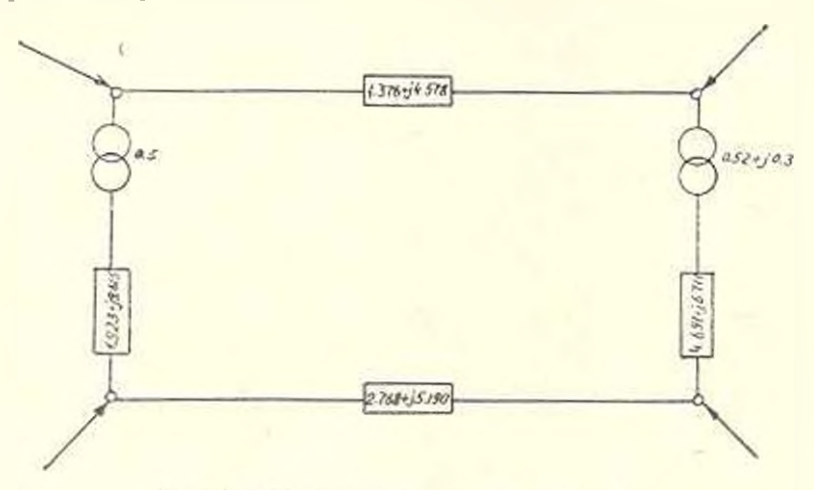


Рис. 2. Расчетная схема электрической сети.

Практическая реализация метода. Рассмогрим расчетную схему электрической сети (рис. 2), состоящей из 4 узлов. Пассивные параметры вствей (сопротивления и коэффициенты трансформаций) известны. Известиа также Z-матрица обобщенных параметров (10) (в качестие базисного выбран узел 1).

В ветвы с вершинами 1-1 включен трансформатор с действительным жоэффициентом грансформаций, а в ветвы с вершинами 2-3 с комилексным коэффициентом грансформаций. Предполагается, что комилексный коэффициент трансформатора изменяется и становится равным K'=0.34+i0.2.

Для коррекции Z-матрицы обобщениях параметров необходимо сначала сформировать матрицу A (11). Для упрощения расчетов можно пренебречь изменением проводимости ветви с вершинами 2—3, возникающими при изменении комплексного коэффициента

$$A = \begin{bmatrix} 1 & 2 & 3 \\ 1 & -0.262 - j & 0.036 & 0.142 + j & 0.095 \\ 0 & 0.652 + j & 0.037 & 0.107 + j & 0.030 \\ 0 & -0.228 + j & 0.016 & 1.161 + j & 0.067 \end{bmatrix}$$
(11)

Далее, согласно (4), скорректируем Z-матрицу обобщенных параметров (12):

АрмН1111Э

Поступило 12.11.1979

վ, Ո. ՈԱՖԱՐՑԱՆ

ԷլեԿՏՐԱՀԱՄԱԿԱՐԳԵՐԻ ԸՆԳՀԱՆՐԱՑՎԱԾ ՊԱՐԱՄԵՏՐԵՐԻ Z-ՄԱՏՐԻՑԱՅԻ ՈՒՂՂՈՒՄԸ ՏՐԱՆՍՖՈՐՄԱՑԻԱՅԻ ԿՈՄՊԼԵՔՍ ԳՈՐԾԱԿԻՑՆԵՐԻ ՓՈՓՈԽՄԱՆ ԴԵՊՔՈՒՄ

Էլիկտրահա<mark>մակարդ</mark>երի ընդհանրացված պարամետրերի Z-մատրիցայի ուղղման համար, երբ փոփոխվում են տրանոֆորմացիայի կոմպլեջս դործակիցները, առաջարկվում է մի մեխոդ, ըստ որի կառուցվում է լրացուցիչ և մատրիցա, որը ծախից բազմապատկելով ընդհանրացված պարամետրերի Z մատրիցայով, ստացվում է ուղղված Հ`-մատրիցա։ Էնդհանրացված պարամետրերի Z-մատրիցայի կորբեկցիայի առաջարկված մեխոդը կարելի է կիրառել էլեկարահամակարգերում ցանկացած փոփոխության դեպքում (են-թադրվում է, որ փոփոխման ընթացրում համակարդի հանղույցների թիվը չի փոխվում)։

ЛИТЕРАТУРА

- Физылов X. Ф., Насыров Т. X. Брискин И. Л. К расчету установившихся режимов энергосистем с учетом комплексных коэффициентов трансформация. «Электричество», 1972, № 12, с. 7—9.
- Фильмов Х. Ф., Брискин И. Л. Расчет установившегося режима электрических систем с учетом комплексных коэффициентов траксформации трансформаторов. -Труды ТашПИ», вып. 75, Ташкент, 1971.
- Лопишшеская Л. А. Алгоритм расчета установившегося режима сложим энергосистем при учете комплексных коэффициентов трансформации трансформаторов «Проблемы технической электродинамики», вып. 25, Киев. «Наукова думна», 1970, с. 61—66.
- 4. Мельников Н. А. Матричный метол внализа электрическиях ценей, М., «Энергия», 1972, 231 с.

Տեխնիկական գիտուր, սեբիա XXXIII, № 4, 1980

Серия гехинческих наук

ЭЛЕКТРОТЕХНИКА

к. о. сотткян

ЭЛЕКТРОМАГНИТИЫН МОМЕНТ ТРЕХФАЗНОГО АСИНХРОИНОГО ДВИГАТЕЛЯ В РЕЖИМЕ несимметричного электромагинтного тормоза

Продолжительность испытаний на нагрев трехфазных аспихронных двигателей (АД) мощностью от 0.6 до 100 кВт, которые обычно осушествляются путем непосредственной механической нагрузки на валу, может быть значительно сокращена, если применить режим несимметричного электромагинтного гормоза (НЭТ) двигателя [1]. В этом режиме, после запуска АД на холостом ходу, одна фала (С) статора отключается от сети и замыкается на добавочное сопротивление $Z_{400} =$ $=R_{100}+IN_{400}$, предварительно соединенное с нулевой точкой обмотки статора, а две другие фазы (А и В) остаются включенными в сеть [2, 3]. При производстве или ремоите АД испытание на нагрев в режиме НЭТ, помимо существенного уменьшения стоимости испытаний, позволяет выявить скрытые дефекты АД в межвитковой изоляции обмотки, заливке стержней беличьей клетки ротора, обеспечении заданной величины воздушного зазора и др.

Ниже приводится метод приближенного определения электромагнатных моментов, развиваемых АД при несимметричной схеме включения фаз статора, позволяющий значительно упростить эту задачу по сравнению с классическим метолом симметричных составляющих.

В [1] показано, что схема замещения прехфазного АД в режиме ПЭТ может быть предстаплена схемой замещения двух однофазных асинхронных машин - «двигателя АВ» и «двигателя С», имеющих обший ротор и общии магнитопровод статора (рис. Ia). Обмотка W_{ABA} «двигателя AB» состоит из фаз A и B, а обмотка W_{01} «двигателя C» из фазы С статора исходного трехфазного АД.

К выводам обмотки W_{AB} приложено напряжение \hat{U}_{tAB} от сети. Папряжение на выводах обмотки Wel является вторичным, оно индунировано током ротора аналогично напряжению в управляющей обмотке асинхронного тахогенератора [4]. Поэтому электромагнитный момент Маля «двигателя AB» противоположен электромагинтному моменту М. «двигателя С».

Непосредственное измерение моментов $M_{\rm ARR}$ и $M_{\rm CT}$ экспериментальным путем не представляется возможным. Однако наличие указанных моментов в режиме НЭТ АД подтверждается на основании следующих физических представлений и экспериментальных данных. При $U_{1AB}=$ const и постоянных нараметрах АД с уменьшением добавочного сопротивления Z_{100} увеличиваются скольжение s, ток в фазах AB и C статора, в роторе и потребляемая из сети активная мощность P_{1AB} .

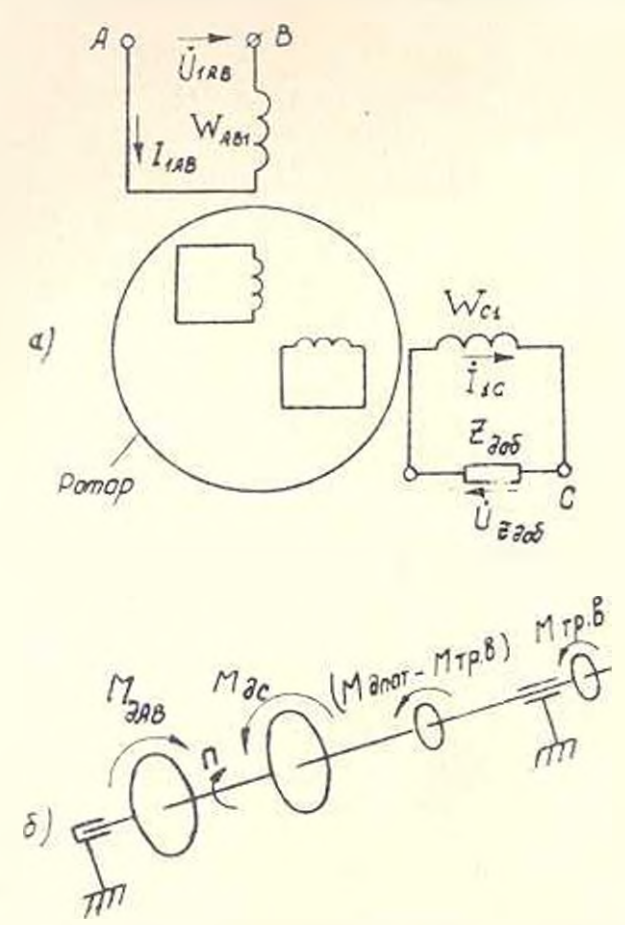


Рис. 1. Схемы замещения трехфизного всинкронного двигателя в режиме несимметричного электромагинтного тормоза: а) принцыпиальная схема; б) схема моментов.

Поскольку в режиме ПЭТ механический (внешний) момент на валу АД равен нулю, то увеличение s, P_1 , и токов статора и ротора обусловлено наличием в режиме ПЭТ тормозных моментов $M_{\rm AC}$ "двигателя С" и $M_{\rm 1,pot}$ от трения, вентиляции, магнитных и электрических потерь и момента $M_{\rm AB}$, уравновешивающего $M_{\rm 1C}$ и $M_{\rm 2,pot}$. С уменьшением $Z_{\rm 200}$ увеличиваются моменты $M_{\rm AC}$, $M_{\rm 2,pot}$, скольжение s, а следовательно, и момент $M_{\rm AB}$.

Уравиение моментов АД в режиме НЭТ:

$$M_{AB} - M_{AC} - M_{AB1} = 0;$$
 $M_{AB} = M_{AC} - M_{AB1}$ (1)

H211

$$M_{AAB} - M_{AC} - (M_{ABOT} - M_{AB, a}) = M_{TP, B, a}$$
 (1a)

гле Мир. п — момент трення и вентиляции АД.

Уравнение (1a) показывает, что результирующий момент АД в режиме НЭТ равен моменту трения и вентиляции. На рис. 16 схематически показаны моменты, действующие на валу АД в режиме НЭТ.

В режиме НЭТ скольжение $s=(0,3\div0,6)$ s_n , где s_n номинальное скольжение [5]. В этом дианазоне скольжений, как известно, вращающие моменты от обратного поля и высших гармоник оказывают незначительное влияние на результирующий момент однофазного режима грехфазного АД. Задачу определения моментов M_{2AB} и M_{2C} можно значительно упростить, если эти моменты определить приближенно, на основании эконериментальных данных измерений и режиме НЭТ токов и монностей.

Величины, входящие в (1), можно представить в виде:

$$M_{1AB} = \frac{P_{1AB}}{P_{1AB}} = \frac{P_{1AB} - P_{111AB} - P_{cr1AB}}{w_1}; \qquad (2)$$

$$M_{\rm H} = \frac{P_{2e_4}}{\omega_1} = \frac{P_{\rm m} - P_{\rm M2C} - P_{\rm errec}}{\omega_1} = \frac{P_{\rm Zxoo} \div P_{\rm M1C} - P_{\rm errec}}{\omega_1} \,. \tag{3}$$

$$M_{\text{tuot}} = \frac{1}{\omega_{\text{o}}} \tag{4}$$

где

$$P_{1AB} = U_{1AB} \cdot I_{1AB} \cdot \cos x_{AB}, \qquad P_{11AB} = 2r_1 I_{1AB}, \qquad P_{M1C} = r_1 I_{1C},$$

$$P_{Z_{300}} = I_{1C} U_{Z_{300}} \cdot \cos x_{AB}, \qquad I_{1C}^2 \left(Re\left[Z_{300} \right] \right); \tag{5}$$

$$U_{Z_{100}} = I_{16} Z_{100}, (6)$$

 P_{1ABB} , P_{2C} , — электромагнитная мощность "двигателя AB" и "двигателя C"; P_{MIAB} , P_{criAB} , $\cos \phi_{AB}$ — потери в меди и стали статора и коэффициент мощности "двигателя AB"; P_{2C} — потребляемая мощность "двигателя C"; P_{MIB} , P_{cri} и P_{MIC} . — потери в меди стали ротора (первичной цепи) и статора (вторичной цепи) "двигателя C"; $\cos \phi_{C}$ — коэффициент мощности вторичной цепи "двигателя C"; P_{min} — потери на трепис и вентиляции; — потери мощности и падение напряжения на добавочном сопротивлении ω_{ic} — угловая скорость вращения магнитного поля и ротора; r_{i} активное сопротивление одной фазы статора исходного трехфазного AД: I_{1AB} , I_{1C} — ток в фазах AB и C статора AJ в режиме HЭТ.

Электромагнитный момент «двигателя AB» и долях электромагнитного момента двух фаз трехфазного номинального режима АД равев

$$k_{MAB} = \frac{M_{2AB}}{\frac{2}{3}M_{B}} = \frac{\frac{P_{1AB9}}{\omega_{1}}}{\frac{2}{3}\frac{P_{1290}}{\omega_{1}}} =$$

$$= \frac{P_{1AB} - P_{M1AB} - P_{cr1AB}}{\frac{2}{3}\left(\frac{P_{B}}{\gamma_{B}} - P_{M1B} - P_{cr1B}\right)} \approx \frac{P_{1AB} - P_{M1AB}}{\frac{2}{3}\left(\frac{P_{B}}{\gamma_{B}} - P_{M1B}\right)} . \tag{7}$$

а электромагнитный момент «двигателя С» в долях электромагнитного момента одной фазы трехфазного номинального режима АД:

$$k_{MC} = \frac{M_{3C}}{\frac{1}{3}M_{II}} = \frac{\frac{P_{2C9}}{\omega_{1}}}{\frac{1}{3}\frac{P_{129H}}{\omega_{1}}} = \frac{P_{Z205} + P_{M1C} + P_{crtC}}{\frac{1}{3}\left(\frac{P_{II}}{\gamma_{II}} - P_{M1H} - P_{crtII}\right)} \approx \frac{P_{Z305} + P_{M1C}}{\frac{1}{3}\left(\frac{P_{II}}{\gamma_{II}} - P_{M1H}\right)}$$
(8)

где $P_{\rm Min} = P_{\rm Min} - P_{\rm Min} -$

Потери $P_{\rm max}$ и $\frac{2}{3}P_{\rm crin}$ примерно одинаконы и по сравнению с $(P_{1AB}-P_{\rm max})$ в $\frac{2}{3}$ ($P_{\rm max}$) составляют незначительную величину (порядка $1-2^0/_0$). Кроме того, $P_{\rm crin}$ находится в числителе, а $\frac{2}{3}P_{\rm crin}$ — в знаменателе выражения (7). Поэтому для упрошения расчетов в (7) принимается $P_{\rm max}=\frac{2}{3}P_{\rm crin}$ ≈ 0 . Аналогично, в (8) принимается $P_{\rm crin}\approx\frac{1}{3}P_{\rm crin}$

В таблице приводятся значения кратностей электромагнитных моментов «двигателя AB» k_{MAB} и «двигателя C» k_{MC} для ряда AД в диапазоне монности от 2,2 до 10 $\kappa B\tau$, с числом полюсов $2p=2\div 8$. Величины k_{MAB} и k_{MC} рассчитаны по формулам:

Зависимость электромагнитных моментов аспихронных двигателей в режиме песимметричного электромагнитного тормоза

Двигатель	Добаві сопроти Ол	вление.	Крат- пость тока статора	Погреб- ляеман монность. Вт	Кратность момента лвита- теля АВ-	Кратность момента геля Ст	Отпоше- ние мо- ментоп
	R ₂₀₆	$N_{\rm pole}$	k ₁₁	P_{1AH}	k _{MAB}	. ARC	RMAR
MTO12-6	3		1,73	4040	1,317	1.201	1,097
2,2 κBm,	4,58		1,58	3410	1,241	1,251	0,992
7,5 /		3,4	1,71	2180	1.1	0.413	2,663
	_	4.7	1.58	2690	0,944	0,378	2,497
MT111-6	3.76		1.595	4480	1,172	1,114	1,052
3,5 ×Bm,	6	_	1.381	3800	1,021	1,01	1,01
10.5 //	_	3,94	1,56	3380	0.887	0,373	2,377
	_	5,5	1,376	2850	0,712	0+316	2,253
AO-32-6	6.9	_	1,616	2020	0,970	u,906	1,07
2,2 κBm.	9,2	_	1,432	1780	0,879	0,879	1
5.4 A	_	4,2	1,8	1710	0,81	0,363	2,235
	_	5,7	1,607	1480	0,68	0,328	2.085
A O2-41-6	6,45	_	1,754	3250	1,192	1 - 186	1.005
3 кВт,	11,7	_	1,44	2620	0,934	1,062	0.88
7,2 4	_	3	1,979	2625	0,86	0,337	2,55
		5,25	1,72	2100	0,674	0,279	2,265
4A 112M4-V3	7,04	_	1,402	4350	0,953	1,199	0,794
5,5 κBm.	8,55		1,233	3780	0,839	1,089	0.77
12 A	_	6,26	1,44	2550	0,487	0,224	2,179
		8,27	1,27	2070	0.395	0,185	2.134
A O2-51-1	7,4		1,29	4700	0,847	0,972	0.87
7.5 kBm.	8,25	, .	1,175	4350	0,76	0,906	0,841
15 /1	_	5,4	1,466	2700	0,354	0,142	2,485
	400.0	8,25	1.113	1925	0,298	0,127	2,34
AO2-52-4	4,3	_	1,38	6930	0,884	1,087	0,813
10 κBm,	6,1	_	1.15	5400	0.721	0,891	0,81
20 A	_	3,87	1.3	3000	0,357	0,149	2,463
	_	4 55	1,22	2775	0,329	0,141	2.33
A O2-32-2	14	_	1,237	2840	0,935	1,105	0,845
$4 \kappa Bm_{\star}$	15.7	_	1,15	2460	0,817	0,98	0,833
8 A	_	13,9	1,225	1200	0+344	0,177	0,944
	_	16	1.12	960	0,272	0, [4]	1,93
4A80B2-V3	11,5	_	1,808	2280	1,169	1 -342	0.871
2,2 KBm,	14.9	_	1,537	1920	0,984	1,22	0,806
4,7 A	_	11,9	1,808	1480	0,676	0,34	1,988
	_	18,3	1,468	1040	0,478	0,25	1,311

$$k_{\rm MLS} \simeq \frac{P_{\rm 1AB} - P_{\rm M1AB}}{\frac{2}{3} \left(\frac{P_{\rm u}}{\tau_{\rm ut}} - P_{\rm M1B}\right)} , \qquad k_{\rm MC} \simeq \frac{P_{\rm Za66} + P_{\rm M1C}}{\frac{1}{3} \left(\frac{P_{\rm u}}{\tau_{\rm ut}} - P_{\rm M1B}\right)} .$$

на основания экспериментальных данных измерений мощностей, токов в напряжения в режиме ПЭТ. При испытании в режиме ПЭТ краспост тока статора $k_1 = \frac{1}{2I_{10}} \cdot I_{1BB} \approx I_{10}$, где $I_{16} =$ поминальный ток статора.

Экспериментальные данные получены при номинальном напряжении $380\ B$ на фазах AB статора. Потери $P_{Z_{300}}$ в добавочном совротивлении Z_{200} определены ваттметром, т. с. в расчетах учтены потери активной мощности в совротивлении катушек индуктивности. Температура обмоток $25-30^{\circ}\mathrm{C}$.

Электромагнитный момент $M_{\pi AB}$ («дангатель AB») аналогичен электромагнитному моменту обычного однофазного режима трехфазного АД с механической нагрузкой на налу, когда к двум (A. B) фазам статора от сети приложено напряжение U_{1AB} . Асинхронияя машина «двигатель C» работает в режиме электромагнитного тормоза, так как направление электромагнитного момента M_{π^0} противоположио направлению вращения ротора АД в режиме НЭТ.

Так как в режиме НЭТ одновременно действуют моменты M_{1AB} и M_{1C} , а ротор вращается со скольжением s, то зубновая зона и обмотка статора подвергаются воздействию тангенциальных сил неизменного направления, в то время как зубновая зона и обмотка ротора подвергаются воздействию знаконеременных тангенциальных сил.

В режиме НЭТ появляются пульсирующие моменты (среднее значение которых равно нулю), обусловленные влиянием обратного поля и высших гармоник, как и в обычном однофазном режиме трехфазного АД, причем, пульсирующие моменты увеличиваются с увеличением кратности тока $k_{\rm B}$ в статоре и зависят от конструктивных особенностей АД.

Наличие пульсирующих моментов и знакопеременных сил в режиме НЭТ вызывает дополнительную вибрацию тубцов, что оказывает дополнительное механическое действие на проводники и изоляцию обмоток. Поэтому в режиме НЭТ условия испытания на нагрев АД более жесткие по сравнению с испытанием на нагрев механической нагрузкой, что способствует выявлению скрытых тефектов в обмотках АД.

Выводы

Трехфазный АД и режиме несимметричного электромагнитного гормоза, при вращающемся роторе без механической нагрузки на валу, развивает противоположные по знаку средние электромагнитные моменты М_{зАВ} и М_{зА}.

- 2. В этом режиме можно, выбрав соответствующее добавочное активное сопротивление R_{206} в цели фазы статора, получить режим испытания, при котором среднее значение электромагнитного момента, развиваемого каждой обмоткой фазы в несимметричном режиме, по абсолютной величине близко к электромагнитному моменту, развиваемому обмоткой фазы при трехфазном номинальном режиме.
- 3. С точки зрения электромагнитного момента, форсированное ислытание на нагрев АД в режиме несимметричного электромагнитного тормоза целесообразио произволить при R_{200} током статора, поевышающим номинальный в $1.2 \div 1.5$ раза. При этом выдержка времени ислытания (порядка 2-10 лим) определяется по методике, приведенной в [2,3].

ПО Армэлектромани»

Поступнао 17 X 1979

h. 2. Ungehaute

ԵՌԱՖԱԶ ԱՍԻՆԵՐՈՆ ՇԱՐԺԻՉԻ ԷԼԵԿՏՐԱՄԱԳԵՒՍԱԿԱՆ ՄՈՄԵՆՏԸ ԱՆՀԱՄԱՉԱՓ ԷԼԵԿՏՐԱՄԱԳՆԻՍԱԿԱՆ ԱՐԳԵԼԱԿՄԱՆ ՌԵԺԻՄՈՒՄ

lk of dendent of

Ցույց է տրված, որ հոաֆազ ասինիւրոն շարժիչի փորձարկումը անհաժաչափ էլնկարտմագնիսական արգելակժան ռնժիժում, նրը շարժիչը պաբապ ընքացրում քողարկվելուց հետո ստատորի մի ֆաղը անջատվում է ցանցից և փակվում լրացուցիչ դիժադրությամր, որի մի ծայրը նախապես միացված է ստատորի դրուական կետում, առանց լիսեռի մեխանիկական բեռնավորման, Տնարավորություն է տալիս նմանեցնել ժեխանիկական բեռնավորումով փորձարկմանը՝ ֆաղերի միջոցով զարգացվող էլեկարամագնիսական մոժննաի բացարձակ մեծությամբ, Հայանաբերվել են փորձարկման մի քանի առանձնահատկություններ։

ЛИТЕРАТУРА

- Сосикан К. О. Сравнительный авализ испытания на нагрен трехфалного яспихронного двиг теля непосредственной нагрузкой и в режиме испиметричного электроматингного тормоза. «Изв. вузов. Электромеханика», 1977, № 3, с. 271—274.
- Согинан К. О., Осанди Р. В. Способ испытации на патрев аспихровных дингателей. Ант. св. СССР. Бюлл. № 629605, 1978, № 39, с. 175.
- Оганян В., Согакин К О Метол ускоренного определения перстрева обмоток трехфазных асинхропных двигателей «Изв пулов Электромеханика», 1975. № 1, с. 31—36.
- Оганян Р. В., Согикин К. О. Уравневия токон статора и ротора трехфазного асинхронного двигателя в режиме несымметричного электромагиитного тормоза. «Илв. вузов. Электромеханика», 1974, № 7, с. 743—746.
- Осанин Р. В., Соликви К. О. Условии равенства токов и фазах статора грехфедного исинхронного дингателя и режимме несимметричного электромагиштного тормода. Изм. пуров. Электромеханика», 1974, № 9, с. 977—983.

ЭЛЕКТРОТЕХНИКА

К. А. ГАМБУРЯН, 1 О. МКРТЧЯН

ОПРЕДЕЛЕНИЕ ХАРАКТЕРИСТИК ПОТЕРЬ МОШПОСТИ HA KOPOHY

Большой опыт эксплуатации длинных диний электропередач (ЛЭП) переменного тока напряжением 500 кВ даст предпосылки строительства ЛЭП напряжением 750 и 1150 кВ. Эффективность увеличения номинального напряжения ЛЭП общензвестна. Известно также, что с унеличением напряжения ЛЭП увеличиваются потери на корону. Поэтому при исследованиях режимов энергосистем, содержащих ЛЭП высокого и сверхвысокого напряженця, необходимо учитывать потери мощности на корону,

Потери на короку являются функцией многих параметров: диаметра 🐔 и количества проводов и в расшепленной фазе, шага расщепления а, состояния поверхности проводов т, расстояния между фазами D, высоты подвеса проводов ЛЭП И (эти параметры условно будем назызывать конструктивными), рабочего напряжения U и метереологических условий на трассе линии. Таким образом, при заданных конструктивных параметрах линин потери мощности на корону принимаются зависящими от приложенного напряжения метереологических условий на трассе.

Для определения потерь мошности на корону и [1] приведены обобщенные характеристики для 4-х погодных условий: 1 - хорошая погола; 2 — сухой спет; 3 — дождь; 4 - изморозь.

Обобщенные характеристики построены в зависимости от отношения напряженности электрического поля поверхности проволов Е. и начальной напряженности короны E. Отношение $E_{ij}E_{ij}=9$ является основным из параметров, определяющих потери на корону. При задалякон отохооридтирок этониржкий картомарии хыныпуудтоно кын ${\cal E}_{+}$ пропорциональна напряжению U линии. Начальная напряженность $E_{\rm o}$, в основном, зависит от относительной плотности воздуха δ .

Непосредственное использование обобщенных характеристик а программе расчета установившегося режима представляется пецелесообот водинать и инфартации по при простоя и помента потеры на корону в зависимости от получениых в данном шате итерации значения напряжения в узле. В отличие от гакого подхода предлагается рабляговременное определение зависимости потерь мощности на корону от наприжения — и представление се в виде стандартной статической характеристики нагрузки, используемой в программе установившегося режима. При этом никаких изменений в последней вводить не приходится

В АрмНИПЭ разработана программа расчета потеръ мощности на корону на языке «Фортран-4» по предлагаемому методу.

В основу этой программы заложено применение обобщенных характеристик $\Theta(\mathcal{I})$, анироксимируемых многочленами. Расчеты показали, что для получения необходимой точности в зависимости от погодных условий указанные многочлены лолжны быть различной степени: второй или третьей. Например, для «хорошей» погоды второй степени, для погоды «изморозь» гретьей. Поэтому с целью унификации многочлена $\Theta(\mathcal{I})$ он принят гретьего порядка и имеет вид:

$$\Theta(\mathfrak{I}) = \sum_{i=1}^{n} \mathfrak{I}_{i} \mathfrak{I}_{i}$$
 (1)

Коэффициенты многочлена β_k определены методом наименьших квадратов [2] и приведены и табл. 1 для 4-х погодиых условий. Определение Θ по указанной выше формуле уловлетворяет гребуемой точности при изменении $\mathcal G$ в пределах от 0.6 до 1.

Таблица 1

1	Horona	357	811	*21	tu.
1	Хорошая погода	- 5,197	25,059	40,092	21,514
2	Cyxon cuer	11,76	58,252	96,084	53,425
3	Лождь	5.184	18,225	12,948	6,7
4	Наморозь	6.292	-22,281	10,109	22,416

В виде формулы представлены также коэффициенты функции $\chi(I)$, учитывающие среднегодовую интенсивность дождя I, поскольку обобщенные характеристики для этой погоды построены с учетом интенсивности дождя, равной I=1 мм/q. Формула функции $\chi(I)$ имеет следующий вил:

$$\chi(\bar{I}) = 0.483 + 0.363 \cdot \bar{I} + 0.244 \cdot \bar{I}^2 + 0.93I^3.$$
 (2)

Зависимости потерь мощности на корону от напряжения а программе реализуются в следующей последовательности путем использования ряда формул, приведенных в [1]. При заданных конструктивных параметрах вычисляются:

- а) раднуе расщепления проводов r_n ;
- б) эквивалентный раднуе провода 👣
- в) емкости средней с. и крайней с, фаз;

- r) начальная напряженность электрического поля E_{st} (δ_t) в общем случае для 4-х значений относительной плотности воздуха δ_t , соответствующая каждому из 4-х погодных условий (t=1, 2, 3, 4);
- д) эквивалентная напряженность поля на поверхностях крайних $E_{\text{э1}}$ и среднего $E_{\text{э2}}$ проводов при заданных значениях напряжения U, т. е. $E_{\text{э1}}(U)$ и $E_{\text{э2}}(U)$
- е) $\Theta_{lf} = \sum_{k=0}^{3} \S_{kl} \cdot \Im_{jl}$ при известном отношении $\Im_{jl} = i 1, 2;$ i = 1, 2, 3, 4;

ж) потери мощности на корону

$$P = n \cdot r \cdot (2 \cdot \Theta_{i1} + \Theta_{i2}) \cdot \chi(I_1) \kappa s m / \kappa M,$$

причем, для погодных условий i=1, 2, 4 среднегодовая интенсивность I_i принимается равной едипице $(\times(I)_{-1}=1)$, а для дождливой погоды (i=3) значение $\times(I_3)$ вычисляется по формуле (2) при заданной интенсивности I_3 .

В указанной последонательности определяются потери мощности на корону при заданном значении напряжения. Задавая несколько различных значений для напряжения и выполняя расчеты по пунктам (1, 0), определяется зависимость (1, 0) от (1, 0) представляется формулой—многочленом второго порядка

$$P_{i}(U) = a_{ii} + a_{ii} \cdot U + a_{ij} \cdot U^{\dagger}. \tag{3}$$

Для определения коэффициситов многочлена $a_{\rm ot}, a_{\rm ot}, a_{\rm pt}$ при различных ногодных условиях применен метод наименьших квадратов.

Целесообразно коэффициенты многочлена (3) представить в относительных единицах, имея в вилу возможность учета в расчете режимов энергосистем нагрузки по их статическим характеристикам, в виде

$$P_{i}(U) = P_{\text{mov},i} \cdot \left[\alpha_{0i} + \alpha_{1i} \frac{U}{U_{\text{mov}}} + \alpha_{2i} \left(\frac{U}{U_{\text{mov}}} \right)^{2} \right]. \tag{4}$$

При этом коэффициенты $z_{0,1}$ $z_{1,2}$ и z_{21} определяются с помощью a_{0i} , и a_{21} по формулам:

 $\mathbf{a}_{0l} = a_{0l}/P_{\mathrm{now},t}, \quad \mathbf{a}_{1l} = a_{1l} \cdot U_{\mathrm{now}}/P_{\mathrm{now},t} \quad \mathbf{n} = a_{2i} \cdot U_{\mathrm{now}}P_{\mathrm{now},t},$ где P_{-l} — значение потерь активной мощности на корону при напряжении, равном номинальному U_{now} для i-ого погодного условия.

Пример. Определить характеристики потерь мощности на корону $P_I(U)$ при различных потодных условиях для ЛЭП с проводами $8\times ACO-300$, с номинальным напряжением 1150 кВ. Орвентировочный район работы ЛЭП—Средняя Сибирь. При этом заданными являются: $r_0=1.175$ см; n=8; a=40 см; $\overline{D}=27$ м; H=20 м. Принимается m=0.82; напряжение линии меняется в пределах $1000\div 1300$ кВ с интервалом 25 кВ.

При выборе значения относительной илотности воздуха предполагалось, что зимой могут быть следующие погодные условия: изморозь, сухой сиег и хорошая погода; а летом — дождь и хорошая погода. В расчетах режимов энергосистем, с учетом потерь на корону, пр нято минимальное значение δ_t для каждого из погодных условий. Для рассматриваемого района принято, что зимой $\delta_{min} = 0.98$, а летом — 0.92 [3].

Tabanna 2

ı	Погода	ž _{imin}	P _u	701	7] t	321
1	Хорошая	0,92	17,6	18,3	-42.9	25,6
2	Сухон сиег	0,98	34,6	18,9	-44.2	26,3
3	Дожль	0,92	122	2,51	-7.79	6,25
4	Измороль	0,98	267	2,44	-7.32	5,88

В табл. 2 приведены характеристики, полученные по формуле (4), которые использованы при исследовании установившегося и предельных режимов электрической системы, содержащей ЛЭП 1150 кВ, данной 1200 км. При этом линии электропередачи замещены рядом эквивалентных испочек по 11-образной схеме замещения, на концах которых подключаются потери мощности на корону в виде эквивалентных нагрузок.

АрыНППЭ

Поступило 14 П.1979

Կ. Հ. ԳԱՄՐՈՒՐՅԱՆ, Գ. Հ. ՍԿՐՏՉՅԱՆ

ՀԶՈՐՈՒԹՅԱՆ ՊՍԱԿԱՍԻՆ ԿՈՐՈՒՍՑՆԵՐԻ ԳՆՈՒԹԱԳԱԿՈՒ ՎԳԵՐԵՐԵՐ

Underniemed

քարձր ու դերթարձր լարման էլեկտ աշաղորդման դծեր ունեցող էներդա-Համակարդերում ռեժիմների չաշվարկներ կատարելիս անհրաժեշտ է ույժի ատնել դորության պսակային կորուստները։ Վերջինները տրված են ընդ անրացված բնութագրերով՝ չորս պայմանակաս հղանակների Համար, որոնց անմիջապես օդտավործելը ամակարդերի ռեժիմների ռաշվարկներում կապված է որոշ դժվարությունների հետ։ Հողվածում առա արկվում է նախապես որոշել Հղորության պսակային կորուստները, կախված էլ կտրա աղորդման դծի լարումիդ ու այդ ներկայացնել հերլուծական տեսըով։

ЛИТЕРАТУРА

- Руководящие указания по учету потерь на корону и помех от короны при выборе проводов ноздушных линии электропередачи переменного тока 330—750 кВ и постояного тока 800—1500 кВ. М., СЦНТИ, 1975.
- 2. Демидович Б. П., Марон И. А., Шувалова Э. З. Численные методы вналяза. М., «Наука», 1967.
- Лысков Ю. И., Мельзак И. Я. О статистико-вероятностной оценке атмосферного давления и относительной плотности воздуха, «Электричество», 1972, № 10, с. 16—20.

Տեխնիկական գիտութ սերիա

XXXIII. № 4. 1980

Серия технических паук

ВЫЧИСЛИТЕЛЬНАЯ ТЕХНИКА

Л. А. ГРИГОРЯН

ОПРЕДЕЛЕНИЕ КОЭФФИЦИЕНТА СТАБИЛЬНОСТИ ТЕХНОЛОГИЧЕСКОГО ПРОЦЕССА И ВЫБОР ОПТИМАЛЬНЫХ ПАРАМЕТРОВ ВЫПУСКАЕМЫХ ИЗДЕЛИЙ

Основным критерием, указывающим на степень соответствия параметров выпускаемого изделня данному уровню технологии его производства, является процент выхода годной продукции В, который можно представить выражением

$$\beta = f(X; Y) + \delta, \tag{1}$$

 $\beta = f(\overline{X}; \ \overline{Y}) + \delta, \tag{1}$ где $\overline{X} = \begin{pmatrix} x_1 \\ x_2 \\ \end{pmatrix}$ — контролируемые технологические факторы; $\overline{Y} =$

$$\begin{pmatrix} y_1 \\ y_3 \\ \vdots \\ y_m \end{pmatrix}$$
 - контролируемые параметры выпускаемого изделия, опре-

деляющие его качество; ? — остаточная случайная компонента, учитывающая влияние неконтролирующих технологических факторов,

Важность задачи повышения в очевидна, т. к. это приводит к уменьшению трудоемкости, снижению себестоимости и повышению объема выпускаемой продукции.

При заданных параметрах \overline{Y} , путем вариации X факторов или улучшения отдельных технологических процессов весь технологический пронесе онгимизируется таким образом, чтобы обеспечить максимальное значение в. После решения указанной задачи представляет интерес выявить предельные возможности данного производства и путем вариации параметров У обеспечить дальнейшее повыщение в.

Важным фактором является также стабильная и устойчивая работа производства, когда в течение длительного периода из-за флуктуации в технологии откловение в остается ниже допустимого предела, без резких скачков и колебаний.

В настоящей статье предлагается методика поиска оптимальных параметров изделий У с точки зрения обеспечения максимального прощента выхода голной продукции β и методика оценки степени стабильной работы данного производства.

Для решения поставленной задачи, предлагается нараметры Y разбить на три группы.

- 1. К группе Y_A относятся p параметры, незначительно влияющие на β .
 - 2. К группе $Y_{\rm B}$ относятся l нараметры, у которых функции

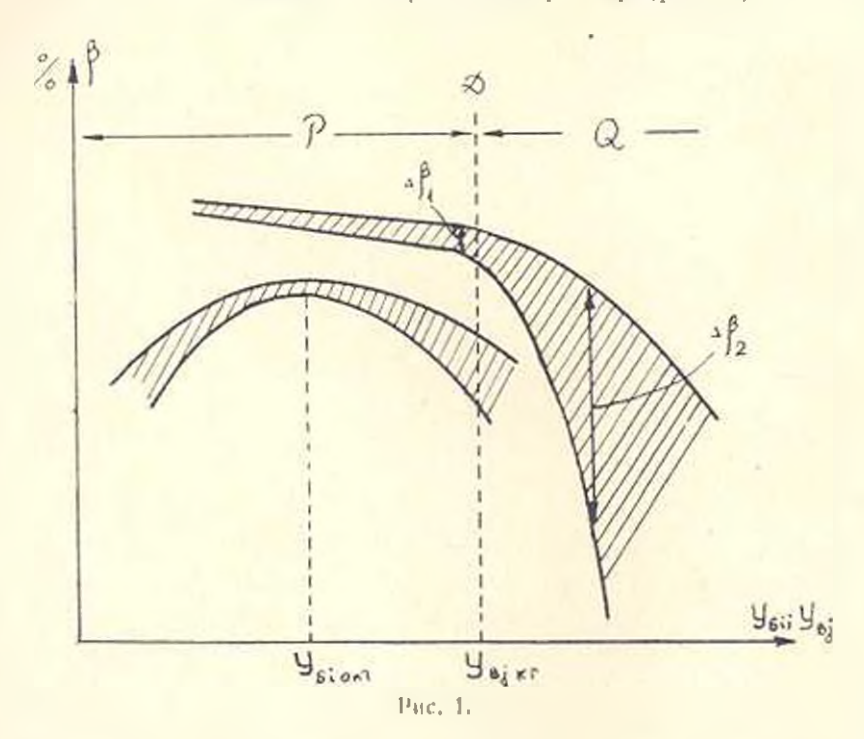
$$\beta = f(Y_{6i}) \tag{2}$$

 $(\overline{X}=\mathrm{const},\ \overline{Y}_{\mathrm{A}}=\mathrm{const},\ \overline{Y}_{\mathrm{B}}=\mathrm{const},\ \overline{t}=1,\ 2,\ \ldots,\ l)$ имеют экстремальный характер.

3. К группе \overline{Y}_n относятся q параметры, у которых функции

$$\beta = f(y_{ni}) \tag{3}$$

 $(X = \text{const}, \ \overline{Y}_{A} = \text{const}, \ \overline{Y}_{B} = \text{const}, \ J = 1, 2, ..., q)$ не имеют экстремума и изменение посит односторонний характер (рис. 1).

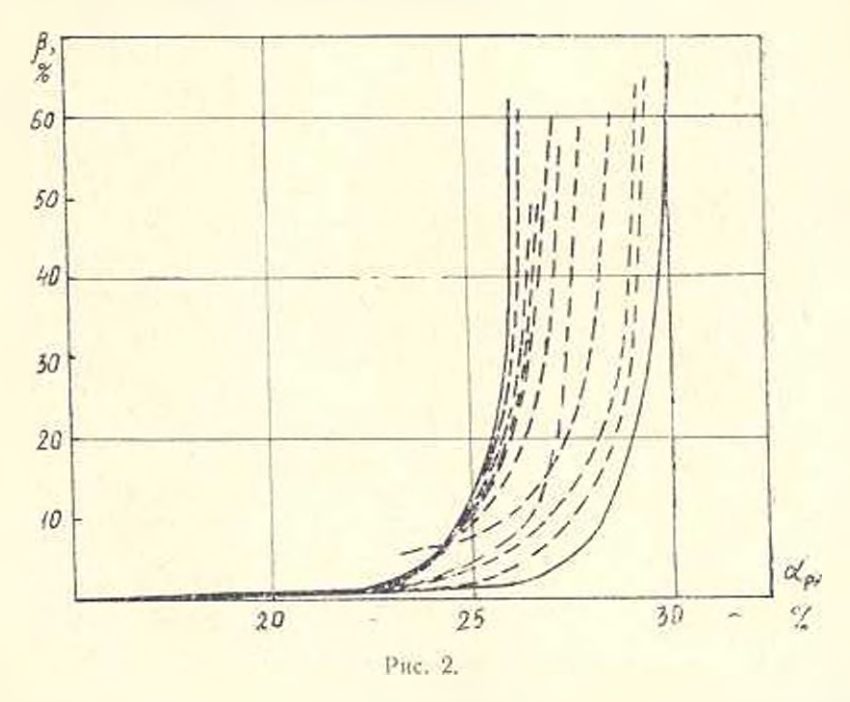


Пользуясь методикой, изложенной в [1], можно производить выбор экстремальных значений нараметров уы, обеспечивающих максимальное значение в и удовлетворяющих техническим требованиям к данному изделею.

В качестве примера можно привести поиск экстремальных значений номинальных токов управления ($I_{\rm PH}$, $I_{\rm PH}$) для запоминающего элемента на цилипарических магинтных иленках, исходя из обеспечения максимального процента выхода годной продукции [3].

Как показали исследования в области радиоэлектронной промышленности, функция (3) имеет явно выраженный ислинейный характер с двуми основными участками: начальным Р и насыщенным Q. Функцию (3) можно представить определенной зоной, ограниченной двумя кривыми (рис. 1).

Очевидно, что при работе в области P с заданными нараметрами $y_{\rm BI}$ технологические флуктуации приводят к небольшим $\Delta \beta_{\rm II}$ а в области Q к резким колебаниям процента выхода годной продукции $\Delta \beta_{\rm II}$ т. е. можно констатировать, что область P является зоной устойчивой, Q — неустойчивой работы производства.



В качестве примера на рис. 2 приведены характеристики для группы запоминающих матриц на цилиндрических магнитных пленках;

где
$$\eta=(1-1)$$
 — процент бракованных разрядов; $I_p=\frac{I_p-I_p}{I_{pH}}\cdot 100$ — отклонение разрядного тока I_p от номинального значения I_{pH} в неблагоприятных направлениях [4].

Очевидно, что для обеспечения стабильной работы производства необходимо, чтобы конец вектора номинальных параметров изделий $Y_{\rm BH}$ был расположен в области P и чем дальше конец вектора от D-границы, тем больше будет запас стабильной работы производства.

Для оценки запаса стабильной работы производства вводится коэффициент

$$\tau = \frac{Y_{Bk}}{Y_{BH}} = \frac{\sqrt{\sum_{i=1}^{n} y_{Bkl}^{2}}}{\sqrt{\sum_{i=1}^{n} y_{BHl}^{2}}},$$
 (4)

где $Y_{\rm BH}$, $Y_{\rm BA}$ — модули вектора номинальных параметров изделий и вектора, который по фазе совпадает с $Y_{\rm BH}$, а его конец расположен на D-границе.

Уравнение *D*-границы можно определить с помощью уравнений регрессии (3) для участков *P* и *O*, полученных методом планирования эксперимента [1]

$$\beta_P = f(\mathbf{y}_i). \tag{5}$$

$$\mathfrak{z}_Q = f(y_i). \tag{6}$$

Пересечение гиперпонерхностей (5) и (6) при условии — то даст уравнение D-границы

$$f_D(\mathbf{y}_i) = 0. (7)$$

В качестве примера рассмотрим случай линейной аппроксимации (5) и (6) вида

$$\beta_{p} = -b_{0} + b_{1} y_{131} + \cdots + b_{N} y_{1N} + \cdots$$
 (8)

$$B_0 = -b_0 + b_1 y_{81} + \cdots + b_1 y_{8g}. \tag{9}$$

Решая совместно (8) и (9), получим:

$$b_1 y_{n_1} + \cdots + b_n y_{n_n} = b_n.$$
 (10)

С другой стороны, уравнение прямой чинии, совпадающей с вектором $\overline{Y}_{\rm BH}$, имеет вид:

$$y_{B(l+1)} = z_{l(l+1)} y_{Bl}, \tag{11}$$

где
$$a_{i(t+1)} = \frac{y_{n(t+1)}}{y_{BH}}$$
. $i = 1, 2, ..., (q-1)$.

Решая совместно (10) и (11), получим значение координат точки их пересечения:

$$y_{Bki} = \frac{b_0}{\sum_{i} \alpha_{ij} b_j}.$$
 (12)

Подставляя (12) в (4), получим:

$$\gamma = \frac{\sqrt{\sum_{i=1}^{q} \left(\frac{b_0}{\sum_{j=1}^{q} a_{ij} b_j}\right)^2}}{\sqrt{\sum_{i=1}^{q} y_{BHI}^2}}.$$
(13)

Если $\gamma \leqslant 1$ то это является признаком настабильной работы производства с большими разбросами процента годной продукции β . Для обеспечения стабильной работы производства необходимо, чтобы орнентировочно $\gamma = \{1.2 \div 1.5\}$. Чрезмерно большие запасы по стабильности производства нежелательны, т. к. со временем технология производства будет адангироваться к этим условиям, и γ снова приблизится к единице.

Для повышения степсии точности определения коэффициента у можно воспользоваться нелинейными уравнениями регрессии функции (3) [1].

По предлагасмой методике можно определить оптимальные значения параметров изделий, обеспечивающих стабильную работу производства с максимально возможным процентном выхода годной продукции. Методика позволяет также оценить коэффициент запаса стабильной работы производства.

В качестве примера, для матрицы на цилиндрических магнитных пленках типа МН-3, по предлагаемой методике получено следующее уравнение *D*-граниты:

$$19.3U_{\rm CH} + 10.4z_p + 8.85z_r = 606.8,\tag{14}$$

где — номинальное значение считанного сигнала: α_p , α_r — отклонения токов управления I_{rH} в наиболее неблагоприятный момент [4].

Подставляя значение коэффициентов урависиия (14) и параметров $U_{\rm GH}=7$ мВ, $z_p=26^{\circ}/_{\circ}$ и $z_r=15^{\circ}/_{\circ}$ в (11) и (13) получим $\gamma=1,14$.

ЕрПИ им К. Маркеа

Поступнао 15.1.1980

լ. Ա ԳՐԻԳՈՐՅԱՆ

ՏԵԽՆՈԼՈԳԻԱԿԱՆ ՊՐՈՑԵՍԻ ԿԱՅՈՒՆՈՒԹՅԱՆ Գ<mark>ՈՐԾԱԿՑԻ ՈՐՈՇՈՒՄԸ</mark> ԵՎ ԹՈՂԱՐԿՎՈՂ ԱՐՏԱԳՐԱՆՔԻ ՈՊՏԻՄԱԼ ՊԱՐԱՄԵՏՐԵՐԻ ԸՆՏՐՈՒՄԸ

Ամփոփում

Արտազրվող սարբի Y պարտմետրերի Համապատասիանման աստիճանը տվյալ տեխնոլոգիական պրոցեսի մակարդակին բնորոշվում է պիտանի արտադրանքի β տոկոսով։ Առաջարկվում է արտադրվող սարքի օպտիմալ պարտմետրերի և նրա տեխնոլոգիական պրոցեսի կայունության աստիճանի որոշման մեթողիկա, օդտադործելով $\alpha=f(y)$ ֆունկցիայի ռեգրեսիայի հաժևատրումը։

ЛИТЕРАТУРА

- Налимов В. П., Чернова И. А. Статистические методы планирования экстремальимх экспериментов. М., «Наука», 1965.
- Глудкин О. П., Обычкин Ю. Г., Блохин В. Г. Статистические методы в технологии производства радиоэлектронной анпаратуры. М., «Энергия», 1977.
- Григорян Л. А., Степанян М. З., Нагапстян А. А. Методика выбора оптимального режима запоминающего элемента на инлиндрических пленках и условня их отбраковки. «Вопросы радноэлектромики», сер. ЭВТ, вып. 1X, 1972
- Григорян Л. А. Запоминяющие устройства на цилиндрических магнитных пленках. М., «Эпергия», 1975.

Տեխնիկական գիթութ, լեբիա

XXXIII. № 4. 1980 Серия технических наук-

ВЫЧИСЛИТЕЛЬНАЯ ТЕХНИКА

C. C. 3AXAPBSHI

МЕТОД СОКРАЩЕНИЯ РАЗМЕРНОСТИ ПРИ ИССЛЕДОВАНИИ **МНОГОСВЯЗНЫХ СИСТЕМ АВТОМАТИЧЕСКОГО** РЕГУЛИРОВАНИЯ

Из всего многообразия методов исследования сложных систем можно выделить следующие:

- а) метолы агрегирования и факторизации [1, 2];
- б) методы декомпозиции [3];
- в) метолы нерархических систем [4, 5].

Несмотря на различие в подходах к постановке задач, мегодах и получаемых результатах, общим для вышеуказанных трех групп является следующее: над исходной сложной системой осуществляется некоторое преобразование, которое приводит исходилю систему к новому виду новым переменным, либо новой структуре, следовательно, и дяух- или трехуровневой нерархической структуре решения сложной проблемы. Задачи анилиза, синтеза и оптимизации значительно упрощаются для каждого уровня, хотя к ним добавляется вычислительная процедура взаимосвязи между уровнями или межуровневой коордипации.

Именно эти признаки и положены в основу предлагаемого в настоящей работе подхода, названного методом уплотнения переменных.

Назовем происссом P преобразование переменных X^{i-1} в переменные X^i , причем, они представлены в виде векторов-столбцов размерности $n \times 1$.

Если каждому $X^{i-1} \in \mathbb{R}^{i-1}$ соответствует единственное значение $X^{i} \in \mathbb{R}^{2}$, то процесс P представляет собой точечное отображение множества R^{i-1} в R^i и может быть обозначен в виде:

$$P: \mathbb{R}^{(-)} \rightarrow \mathbb{R}^{(-)}$$
. (1)

Происссы могут быть образимыми и необратимыми. Для обратимых процессов наряду с прямым отображением (1) существует обратное отображение X^i в X^{i-1} , которое можно записать в виде:

$$P^{-1}: R^{i} \rightarrow R^{i-1}$$
 (2)

Два или несколько процессов можно объединить в систему. Предволожим имеем 2 процесса:

$$P_1: R_1^{i-1} \to R_1^{i}; \quad P_2: R_2^{i-1} \to R_2^{i}.$$
 (3)

Объединением этих процессов или системой будет некоторый новый процесс P, вход и выход которого представляет лекартово произведение множеств R_1 и R_2 . Новая система запишется в виде:

$$P: R^{i-1} \to R^i, \tag{4}$$

причем,

$$R^{i-1} = R_1^{i-1} \times R_2^{i-1}, \quad R^i = R_1^i \times R_1^i. \tag{5}$$

Можно вывести зависимости различных типов объединений — последовательных, параллельных и нерархических. Нас интерссует объединение, при котором вход и выход системы являются скалярными произведениями соответственных входов и выходов процессов:

$$y^{t-1} = (\hat{X}^{t-1})^{\mathsf{T}} \cdot \hat{X}^{t}, \qquad (6)$$

где т — значок транспонирования;

$$y^{i} \in Y^{i-1}$$
 $(\tilde{X}_{1}^{i-1})^{\tau} \in R_{1}^{-1}$ $y^{i} \in Y^{i}; \quad (\tilde{X}_{2}^{i-1})^{\tau} \in R_{2}^{i-1}.$ (7)

Система, полученная путем такого объединения, запишется в виде:

$$(P_1 \cdot P_2) : Y^{i-1} \to Y^i$$
 (8)

Теперь обратимся вновь к процессу (1) и введем в рассмотрение совместно с ним некоторый обратимый пронесс $P_{W^{i}}$ осуществляющий преобразование некоторого входного вектора W^{i} в выходной W^{i} Переменные этого процесса независимы от основных переменных X^{i-1} и X^{i} представлены в виде векторов-строк размерности $1 \times n$. Процесс $P_{W^{i}}$ назовем уплотияющим и запишем в виде:

$$P_{W}^{-1}: \overline{W}^{i-1} \rightarrow \overline{W}^{i}. \tag{9}$$

Направление протекания процесса (1) примем а качестве основного, тогда направление протекания уплотияющего процесса будет противоположным (обратным), как показано на рис. 1.

1. Теорема. Если объединить основной и уплотияющий процессы в систему вида (8) и в качестве уплотияющего процесса использовать основной процесс, т. е.

$$P_{w} = P_{v} \tag{10}$$

то переменные y^{t-1} и y^t будут равны между собой для любых знячений входных переменных системы X^{t-1} и X^t :

$$y^{t-1} = y^t, \tag{11}$$

DEL

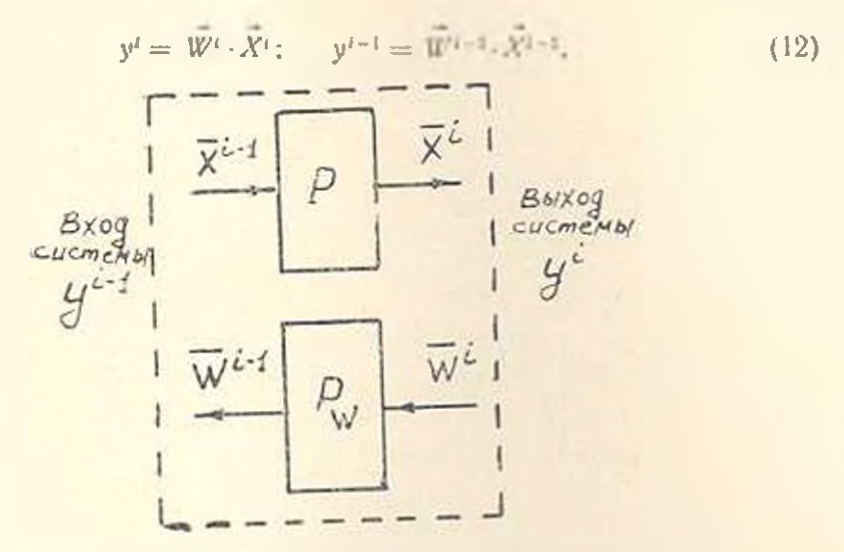


Рис. 1. Уплотнение основного процесса.

Таким образом, на входе и выходе системы имеет место баланс уплотненных переменных y^{t-1} и y^t . Векторы W и W^{t-1} названы уплотняющими.

Если основной процесс (1) является линейным

$$\bar{X}^{t-1} = A\bar{X}^{t-1},\tag{13}$$

где A — неособениая матрица размерности $n \times n$ с элементами a_{jk} (det $A \neq 0$), то согласно (9) уплотняющий процесс имеет вид:

$$W^{(-)} = W^{(-)}A. \tag{14}$$

Применение теоремы уплотисния позволяет существенно сократить размерность ряда задач исследования сложных оистем.

Рассмотрим определение уплотияющих функций на примере многосвязной системы автоматического регулирования (МСАР), состоящей из последовательного соединения N звеньев, каждое из которых описывается зависимостью

$$X^{i}(p) := A^{i}(p) X^{i-1}(p),$$
 (15)

гле р — оператор Лапласа.

Уравнение такой системы, показанной на рис. 2. имеет вид:

$$\vec{X}^{N}(p) = A(p)\vec{X}^{0}(p),$$
 (16)

$$A(p) = A^{(N)}(p) \cdot A^{(N-1)}(p) \dots A^{1}(p), \tag{17}$$

Выражение (14) в этом случае представляет собой систему рекуррентных формул

$$W_k^{t-1}(p) = \sum_{i=1}^{n} a_{jk}^i(p) \ W_j^t(p), \tag{18}$$

по которым, задаваясь произвольно n значеннями величин $W^{i}_{+}(p)$ для последнего i=N звена, не все из которых могут равняться пудю, можно однозначно вычислить все остальные nN значения уплотияющих функции.

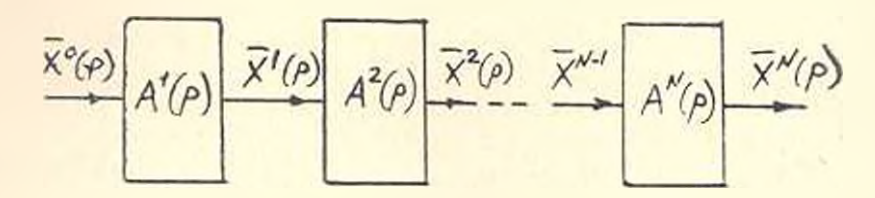


Рис. 2. Блок-схема МСАР.

Выбор уплотияющих функций для последнего Λ -го звена в каждом конкретном случае может быть обусловлен требованиями задачи. В частности, при анализе МАСР технологических процессов бывают известны передаточные матрицы звеньев $A^{(i)}(p)$, по требуется вычислить не полную матрицу (17), а лишь одну ее строку, соответствующую зависимости одного из выходов системы $x^N(p)$ от всех входов x_k ($k=\overline{1,n}$). В этом случае удобио зазать для последнего Λ' -го звена значения:

$$W^N = 1$$
 npu $k = s$ и $W^N = 0$ при $k = s$ (19)

и далсе вычислить уплотияющие функции по (18) для всех звеньев. Уплотияющие функции $W^0(p)$ и будут искомыми передаточными функциями для данного выхода x^N :

$$\mathcal{N}(p) = \sum_{k} \mathcal{W}_{k}^{0}(p) \mathcal{X}_{k}^{n}(p). \tag{20}$$

Если через в обозначить отношение требуемого объема вычислений при перемножении матрии к объему вычаслительной процедуры метода уплотнения, то, как видно из графика рис. 3, метод уплотнения эффективен для n > 2 и выигрыш от сокращения вычислений увеличивается при больших и и N.

Применение уплотнения к системе, показанной на рис. 2. приводит к структурной схеме рис. 1. где звено, осуществляющее операцию скалярного умножения, обозначено значком х. Исследование этой схемы показывает, что если ко входу уплотияющей системы приложить сигнал

 W^N со значеннями (19), то последующие сигналы W^{N-1} , W^{N-2} , W^0 будут равны, соответственно, s-ой строке матриц и их произвелений $A^{(N)}$, $A^{(N)}$, $A^{(N-1)}$, ..., $A^{(N)}$, $A^{(N-1)}$, ..., $A^{(N)}$, ..., $A^{(N)}$... $A^{(N)}$... Всли же принять, что совместно с этим сигналом ко входу основного процесса приложен сигнал $Z^0 = X^0$, проекции которого равны

$$Z_{*}^{0} = 1$$
 при $k = j$ и $Z_{*}^{0} = 0$ при $k = j$, (21)

то остальные сигналы

$$\overline{Z}^{i} = A^{(i)} \overline{Z}^{(-)} \qquad (i = \overline{1, N})$$
 (22)

представляют собой столбиы матрии и произведений матриц $A^{(1)}$, $A^{(2)}$, ..., $A^{(1)}$, $A^{(2)}$, ..., $A^{(N)}$. Петрудно показать, что в этом случае уплотненные сигналы (скаляры) y^0 , y^1 , ..., y^N ранны элементам f^1 соответствующих произведений матриц. Следовательно, метод уплотнения согласно схеме рис. 4 нозволяет вынести правила для вычисления отдельной строки, столбца или отдельного элемента произведения матриц.

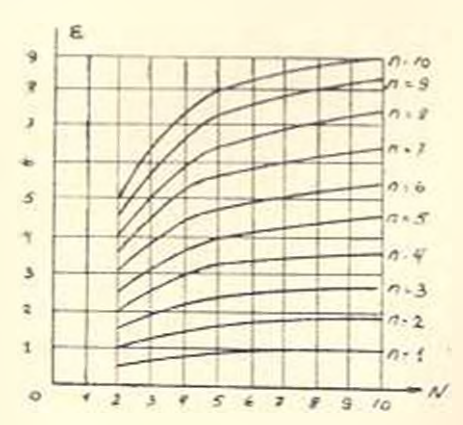


Рис. 3. Степень сокращения вычислений в эзвисимости от размерности задачи.

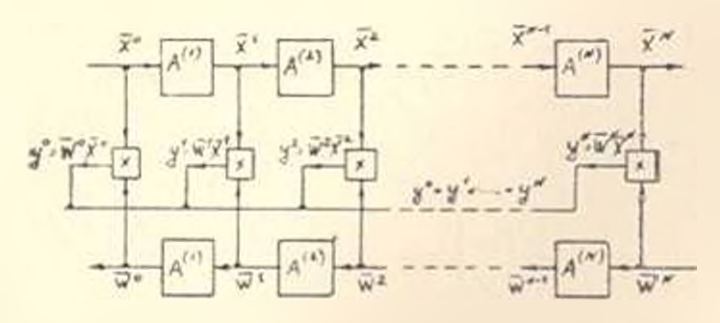


Рис. 4. Структурная схема уплотненной системы.

Верпемен к рассмотрению системы, описываемой выраженнями (15)—(17).

Приведем каждос звено к уплотненному виду с помощью (18). Тогда, согласно (11) и (12), можно записать:

$$y^{t}(p) = \sum_{k=1}^{\infty} W_{k}^{t}(p) x_{k}^{t}(p);$$
 (23)

$$y^{i}(p) = \sum_{k=1}^{n} W_{k}^{i+1}(p) x_{k}^{i+1}(p).$$
 (24)

Условимся в качестве $W_{k}^{\infty}(p)$ задавать передаточные функции, соответствующие устойчивому звену.

2. Теорема. Если исходиня система (15) устойчина, то уплотияющая система, описываемая (24), будет также устойчиной и наоборот.

Таким образом, для анализа устойчивости МСАР вместо исходной системы (15) можно исследовать устойчивость системы (24), полученную путем уплотнения.

Пример. Пусть n=2, $\Lambda=4$ и передатолные матрицы звеньев имеют вил:

$$A^{(1)}(p) = \begin{vmatrix} \frac{1 - T_2 p}{1 + T_1 p} & \frac{1 - T_2 p}{1 + T_4 p} \\ \frac{T_2 p \{1 - T_2 p\}}{1 + T_1 p} & \frac{2T_3 p (1 - T_2 p)}{1 + T_4 p} \end{vmatrix}$$

$$A^{(2)}(p) = \begin{vmatrix} \frac{1}{1 + T_4 p} & \frac{1}{1 + T_4 p} \\ \frac{1 - T_2 p}{1 - T_2 p} & \frac{1}{1 + T_4 p} \end{vmatrix}$$

$$A^{(3)}(p) = \begin{vmatrix} \frac{1}{1 + T_4 p} & \frac{1}{1 + T_4 p} \\ \frac{1 - T_2 p}{1 - T_2 p} & \frac{1}{1 + T_4 p} \end{vmatrix}$$

$$A^{(4)}(p) = \begin{vmatrix} \frac{1}{1 + T_4 p} & \frac{1}{1 + T_4 p} \\ \frac{1}{1 + T_4 p} & \frac{1}{1 + T_4 p} \end{vmatrix}$$

$$A^{(4)}(p) = \begin{vmatrix} \frac{1}{1 + T_4 p} & \frac{1}{1 + T_4 p} \\ \frac{1}{1 + T_4 p} & \frac{1}{1 + T_4 p} \end{vmatrix}$$

Задаем $W^{(n)}(p) = [1; 1]$. По (20) вычисляем остальные уплотияющие функции

$$\overline{W}^{(3)}(p) = \left| \frac{2 + T_4 p}{1 + T_4 p}; \frac{2 - T_3 p}{1 + T_2 p} \right|$$
 (26)

$$\vec{W}^{(2)}(p) = \left[\frac{4 + (T_3 + T_4 - 2T_2)p - T_3T_4p^3}{1 - T_2p} ; \frac{4 + (3T_3 + T_4)p + T_3T_4p^2}{1 + T_3p} \right]$$
(27)

H т. д., вплоть до t = 1,

$$W^{(0)}(p) = \frac{K_1(p)}{1 + (T_1 + T_3)p + T_1T_3p^2},$$

$$W^{(0)}_2(p) = \frac{K_2(p)}{1 + (T_3 + T_4)p + T_2T_1p^2}.$$
(28)

Согласно (24), уравнение уплотненной системы имеет вид:

$$y^{0} = y^{0} - W^{(0)}(p) x^{0}(p) + W^{(0)}(p) x^{(0)}(p).$$
 (29)

Нз (28) и (29) следует, что эта система имеет кории в ловой полуплоскости:

$$p_1 = -\frac{1}{T_1}; \quad p_2 = p_3 = -\frac{1}{T_1}; \quad p_4 = -\frac{1}{T_1}$$
 (30)

и, следовательно, устойчива. Значит, по вышеприведенной теореме, будет устойчивая и исходная система (16). Тот же результат можно получить, используя обычный метод исследования устойчивости, т. е перемножить матрицы (25) и решить полученное характеристическое уравнение системы.

Сравнение обоих способов исследования устойчивости показывает, что применение метода уплотнения примерно в п раз сокращает вычислительную процедуру. Для систем большой размерности это приводит к значительному выигрышу в вычислительной процедуре и сокращению требований к объему намяти ЦВМ. Кроме того, применение метода уплотнения и двухуровневой процедуры позволяет провести распараллеливание алгоритмов, что также в несколько раз спижает время вычислений при использовании децентрализованного или распределенного вычислительного комплекса.

Приложение метода уплотнения для исследования онстемы управления промышленным реактором приведено в [6].

ЕрПП им. К Маркса

Поступило 20.VII.1979

և և ցութություն

ՉԱՓՈՂԱԿԱՆՈՒԹՅԱՆ ԿՐՃԱՏՄԱՆ ՄԵԹՈԳ՝ ԱՎՏՈՄԱՏ ԿԱՐԳԱՎՈՐՄԱՆ ԲԱԶՄԱԿԱՊ ՀԱՄԱԿԱՐԳԵՐԻ ՀԵՏԱԶՈՏՄԱՆ ՀԱՄԱՐ

Բերվում է թարդ Համակարդի փոփոխականների խտացման մեկեող, որը թույլ (տալիս Համակարդի Հետադոտումը ներկայացնել երկմակարդականի պրոցեսի տեսքով։ Ընդ որում կրճատվում է յուրաքանչյուր մակարդակի վրա լուծվող իւնդիրների չափողականությունը, ուստի և ընդՀանուր իւնդրի Հաչվման ծավալն ու ժամանակը։ Միթոդր կիրառվում է երկու դեպքիրում՝ Համակարդերի փոխանցման ֆունկցիաների որոշման և նրանց կայունության հետաղոտման համարա Ճույց է տրված, որ խտացման մեթոդր զգալիորեն փոքրացնում է դաշվողական աշխատանքների ծավալը այնքան շատ, որքան ժեծ է խնդրի չափողականությունը։

Հաշվողական ընկացքի ցուցադրման և մեքոդի էֆեկտիվության գնա-Հատման համար ընրված է գծային համակարդերի ուսումնասիրության օրինակ։

JHTEPATYPA

- Доули Я., Максвеля № Факторный анализ как статистический метод. М., «Мир», 1967.
- 2. Павловский Ю. Н. К вопросу об агрегирования и построения нерархических управляющих структур для одного класса сложных систем. «Жури, выч. матем. и мат. физ.», т. 11, № 6, 1971, с. 1510—1520.
- Верина Л. Ф., Танаса В. С. Декомпозиционные подходы к решению задач мат, программирования (обзор). «Экономика и матем. методы», ч. XI. нып. 6, 1975, с. 1161—1172.
- Javdan M. R. A unified theory of optimal multilevel control, Vol. 22, No. 4, 1975, p. 517-524
- Финдайзен В. Системы с многими уровнями управления. «Автоматика и телемеханика», 1970, № 9, с. 86—95.
- Захарьян С. С. Исследование СХТС методом уплотнения (на примере процесса разложения ДМД). «Докя. 1 Всесоюзной конференции по мат. модел. СХТС», Ереван, 1975, с. 395—102.

արտարան գիտութ, սեբիա

XXXIII, No 4, 1980

Серии технических наук

ВЫЧИСЛИТЕЛЬНАЯ ТЕХНИКА

э. н. манукян

ОСНОВЫ МЕТОДА МАКСИМАЛЬНО-ФИЗИЧЕСКОГО ПРАВДОПОДОБИЯ

Техническое состояние сложного оборудования определяется состоянием его отдельных блоков, узлов и элементов, параметры которых не всегда возможно непосредственно контролировать из-за их исдоступности, сложности необходимого контрольно-чамерительного оборудования. Оценку этих параметров можно производить, обработая специальными методами результаты контроля входных и выходных переменных состояния объекта, несущих в себе информацию о текущем состоянии внутрениих узлов и элементов. Рассмотрим одну из задач такого косвенного контроля со следующей постановкой.

Пусть исследуемый объект представлен векторами: $Y=(v_1, y_2, \ldots, y_n)^T$ контролируемых выходных переменных; $X=(x_1, x_2, \ldots, x_m)$, контролируемых входных переменных; $B=(b_1, b_2, \ldots, b_r)^T$ неконтролируемых нараметрон внутренных элементов, характеризующих техническое состояние объекта. Заданы результаты измерения входных X_i , и выходных Y_i переменных, а также априори известны функции распределений случайных ошибок измерения. Известна структура, природа и характер физических процессов, протекающих в объекте. Требуется оценить значения параметров b_1, b_2, \ldots, b_k .

В теории идентификации статистических решений при аналогичных случаях эффективным методом решения задачи считается метод максимального правдоподобия (MMII), при котором наилучшими оценками считаются значения b_1, b_2, \ldots, b_k , максимизирующие функцию правдоподобия $P_{YB}(Y_3/B)$.

Полученияя таким образом математическая модель правдополобна, адекватна с объектом лишь по внешним признакам: по входным и выходным сигналам. В теории идентификации, где после оценивания параметров мы оперируем только с иходными и выходными переменными полученной модели, такого рода адекватность является вполне приемлемой и не противоречит требованиям постановки задачи. При косвенном же контроле, когда модель предназначена для анализа вкутреннего состояния объекта, такого «внеинего» подобия модели с объектом недостаточна. Здесь необходимо потребовать, чтобы модель полнее отражала качественную и количественную картипу реальных физических процессов, протекающих в объекте, его техническое состояние. Исходя из этих требований, в данной работе предлагается изиболее близкими к своим истиниым значениям считать те значения внутренних нараметров b_1 , при которых в вышеописанной стохастической модели с наибольшей вероятностью обеспечиваются фундаментальные законы физики, описывающие реальные процессы, протекающие в объекте. Полученные значения B будем называть опенками максимально-физического правдоподобия (МФП). Необходимым условием применения метода максимально-физического правдоподобия (ММФП) является составление детерминированной математической модели исследуемого объекта, отвечающей следующим требованиям.

- 1. Каждый элемент, оператор, строка-уравнение, модуль в ныражениях математической модели должны иметь определенный фазический смысл, является прямой формой записи конкретного фундаментального закона физики, описывающего реальный процесс в соответствующем элементе, уале или блоке анализируемого объекта.
- 2. Не разрешается преобразование исходных форм записи математических выражения с целью их сокращения или удобства записи.
- 3. Форма записи математических монслей должна обеспечить вывод условий соблюдения законов физики, представляемых с помощью знаков отношений =, >, ≤, ... и т. д.

Известная априорная информация о структуре и физической природе объекта создает реальные предпосылки для формирования моделей, отвечающих этим требованиям. Например, если объект можно представить электрической схемой замещения, модель, отвечающая вышеперечисленным требованиям, будет представлять собой систему уранисний, где каждая строка является записью голько первого, второго законов Кирхгофа или закона Ома для соответствующего узла, контура, элемента схемы замещения.

На следующем этапе реализации ММФП необходимо составить функцию правдоподобия, представляющую взаимосвязи между вероятностями соблюдения физических законов в стохастической модели и значениями искомых параметров. Составим эту функцию для безыперционных объектов. Пусть модель представляет собой систему конечных уравнений

$$\Phi\left(X_{i} \mid Y, \mid B, \mid U\right) = 0, \tag{1}$$

где $\Phi(X; Y; B; U)$ — вектор нелинейных функций; $U = (u_1, u_2, ..., u_r)^1$ — вектор неконтролируемых переменных состояния.

Предположим, что обеспечение равенства в каждой из строк системы (1) соответствует соблюдению некоторого закона физики. Известны результаты измерений входных в выходных величин $X_{\mathfrak{p}}$ и $X_{\mathfrak{p}}$

$$X_{3} = X + E'$$
, $Y_{3} = Y + E''$, (2)

где E' и E" — векторы случайных ошибок измерений соответствующих величии с известными функциями распределений. Подставим из (2) значения X и Y в (1). Получим стохастическую модель объекта для тежущего состояния:

$$\Phi(X_1 - E'; Y - E''; \overline{B}; \overline{U}) = 0.$$
 (3)

Отметим, что достижение абсолютного равенства в каждой строке (3) является уже случайным событием. Введя обозначение $Z = \Phi(\lambda_* - E'_* Y_* - E'_*, B; C)$ и рассматривая Z как функцию от случайных арсументов E' и E'' при фиксированных B и U_* определим плотность вероятности появления Z. Тогда вероятность соблюдения использованных в можели законов физики будет определяться как:

$$dP = P_{ZM,\pm} (Z = O/\overline{B}; \overline{U}).$$
 (4)

Рассмотрев в (4) B и U в качестве неизвестных, априорную илотность вероятностей в (4) при измеренных значениях X_{\bullet} и $Y_{\bullet \bullet}$ обозначим через некоторую функцию L:

$$L(X_n; Y_n; \overline{B}; \overline{U}) = P_{Z/B_n}(Z = O/\overline{B}; \overline{U}), \tag{5}$$

которую булем называть функцией физического правдоподобия (ФФП). На следующем этапе реализации ММФП, согласно предложенно-

му принципу максимально-физического правдоподобия, определяются значения B и U, максимизирующие $\Phi\Phi\Pi$.

С целью определения точности оценок MMФП рассмотрим ковариации этих оценок. Предположим, что с помощью линейных преобразований (3) можно представить в виде:

$$E = \varphi(X_2; Y_2; \overline{B}; \overline{U}), \tag{6}$$

где E-n-m-мернын вектор, состоящий из компонентов векторов E' и E''; $\varphi(X_s; Y_s; B; E')-n+m$ -мерный вектор нелинейных функций. Для определения приближенного значения функций $\varphi(X_s; Y_s; B; U)$ можно воспользоваться уравнением (11). Тогда на основании (6) можно написать:

$$P_{Z,B;T'}(Z = O/\overline{B}; \overline{U}) = P_{E/B;T'}(\Xi(X_s; Y_s; \overline{B}; \overline{U})/\overline{B}; \overline{U}) =$$

$$= L(X_s; Y_s; \overline{B}; \overline{U}). \tag{7}$$

Определим завысимость между (10) и функцией правдоподобия $L_{\rm sn}$, используемой в классическом методе максимального правдоподобия [2]. Предположим, что в ММП используется модель (1). Если У, и (3) рассмотреть как функцию от E' и E, то выражение (6) можно представить как обратную функцию этой зависимости. В таком случае

по правилу преобразования плотности распределения системы случай-

$$P_{\text{variet}}(Y_s|\overline{B}; \overline{U}) =$$

$$= P_{Y_1,\overline{B_1},\overline{B_2}} \left(= (X_1, Y_2; \overline{B}; \overline{U}) / \overline{B}; \overline{U} \right) \cdot / \det \left[\frac{\sigma_{\mathbb{R}}(X_1, Y_1; \overline{B} \cdot \overline{U})}{\partial Y_2} \right]$$
(8)

Из (7) в (8) получим:

$$L_{\text{vin}} = L(X_3; Y_3 \overline{B}; \overline{U}) \cdot \det \left[\frac{\partial z(X_3; Y_3; \overline{B}; \overline{U})}{\partial Y_3} \right]$$
 (9)

Последнее можно трактовать следующим образом: оценки М.МФП аквивалентны оценкам ММП для тех моделей объекта, функция правдоподобия при которых представлена в виде (9). В то же время для ММП справедливо нераненство Крамера-Рао [1, 2], поэтому для оценок ММФП получим:

 $COV(B) \Rightarrow J^{-1}$

где

$$= M \left[\frac{\partial \ln L_{\text{MB}}}{\partial B} \left(\frac{\partial \ln I_{\text{MB}}}{\partial B} \right)^{\text{T}} \right]$$

$$= M \left[\frac{\ln L \left(X_{\text{Y}}; \ Y_{\text{T}}; \ \overline{B}; \ \overline{U} \right) \cdot \left| \det \frac{\partial z}{\partial B} \right|}{\partial B \cdot \partial B^{\text{T}}} \right]$$

Пример. Пусть имеется объект, схема замещения которого представлена на рис. Контролируемой входной переменной является э.д.с. источника напряжения U_1 ныходной переменной — ток I_2 . Заданы результаты измерений этих величин $U_2=16$ и $I_3=1a$. Ошибка измерения тока Δ имеет пормальное распределение с пулевым математическим ожиданием и дисперсией $\sigma^2=0.01a^2$. Ошибкой измерения э.д.с. можно пренебречь. Требуется по результатам измерений оценить значение активного сопротивления R.

Определим оценку MMФП искомого параметра, используя вышеизложенную схему.

Этап 1. Составим знаковую модель объекта. В данном случае для описания процессов, протекающих в объекте, необходимо использовать закон Ома. Возможны следующие три формы записи математической модели:

$$\frac{U}{R} - I = 0;$$
 $U - IR = 0;$ $\frac{U}{I} - R = 0.$

Этан 2. Составим ФФП иля всех грех моделей. Поставим в уравнение моделей $U=U_{\lambda}$ и $I=I_{\lambda}+\Delta$. Получим:

$$\frac{U_s}{R} - (I_s + \Delta) = 0;$$
 $U_s - (I_s + \Delta)R = 0;$ $\frac{U_s}{I_s + \Delta} = R = 0.$

Введем функции:

$$Z_1 = \frac{U_3}{R} - (I_3 - \Delta); \qquad Z_2 = U_4 - (I_3 + \Delta) R; \qquad Z_3 = \frac{U_3}{I_3 + \Delta} - R.$$

Определим плотность распределений этих величии:

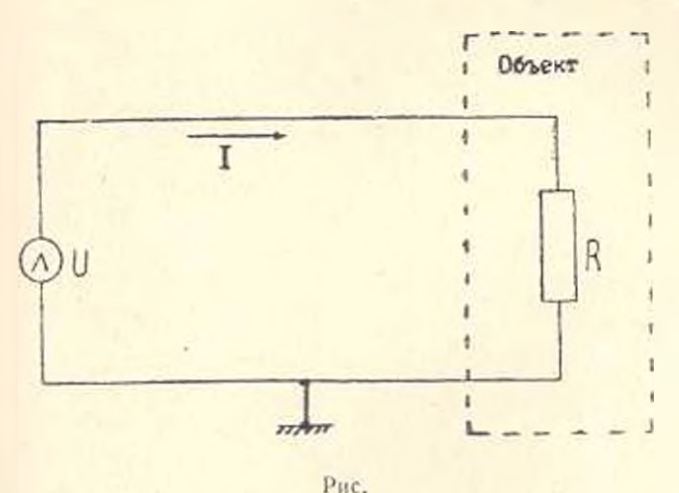
$$f_1(Z_1) = f_2(Z_2) = (1 \mid 2\pi)^{-1} \exp\left[-(1 \mid 2)^{-2} \left(Z - I_2 - \frac{U_3}{R}\right)^{\pi}\right];$$

$$f_3(Z_3) = U_3 \mid (R + Z)^2 \cdot | 2\pi \cdot z|^{-1} \mid \exp\left[-(1 \mid 2)^{-2} - \frac{U_3}{R}\right]^{\pi}$$

Составим ФФП для всех трех случасв:

$$L_1 = L_2 = (\mathfrak{s} \cdot | \overline{2\pi})^{-1} \cdot \exp\left[-(\mathfrak{s} \cdot V^{\overline{2}})^{-2} \left(I_* - \frac{\mathcal{L}'_*}{R}\right)^{-1}\right]$$

$$L_2 = U_* \left(\mathfrak{s} \cdot R^2 \sqrt{2\pi}\right)^{-1} \cdot \exp\left[-(\mathfrak{s} \cdot V^{\overline{2}})^{-2} \left(\frac{U_*}{R} - I_*\right)^2\right].$$



Оценки ММФП величины R, максимизирующие последние выражения, получаются для первой и второй модели $R=\frac{U_0}{I_3}=1$ Ом. для тре-

тьей молели
$$= \overline{R} = \frac{U_{\bullet}}{I_{\bullet}} \left(1 + \frac{I_{\bullet} \sqrt{4s^2 + I_{\bullet}^2} - I_{\bullet} - 2s^2}{2s^2} \right) = 1,01$$
 Ом.

Поскольку лишь одна из полученных разных по величине оценок должна быть наиболее близка к искомому значению этого параметра, то и она будет являться правильной для метода МФП.

Одини из основных препятствий практического применения ММФП является трудность, а иногда и невозможность определения условной плотности распределения (5). В подобных случаях предлагается воспользоваться следующим приближенным методом его определения.

Пепользуя методику статистической липсаризации, приведенной в [3], можно написать:

$$\Phi(X_1 - F'; Y_2 - E''; \overline{B}; \overline{U}) = F + H_1 \cdot E' + H_2 \cdot E'. \tag{10}$$

Элементы вектора Е определяются как:

$$f_i = \varphi_i + \frac{1}{2} \sum_{i=1}^{n} g_{ii}^{\dagger} M(e_i^{\dagger})^2 + \frac{1}{2} \sum_{j=1}^{n} g_{ji}^{\dagger} M(e_j^{\dagger})^2,$$

где ϕ_i — элемент вектора $\mathfrak{T}(X_i; Y_i; B; U$ в (3): $g = \frac{\partial}{\partial X_i}$: $g = \frac{\partial}{\partial X_i}$:

Элементы векторов H_i и H_i определяются как:

$$h_{M_I} = \frac{1}{2} = \frac{M(c_j^*)^2}{M(c_j^*)^3}; \qquad h_{M_I} = \frac{\sigma_{\tau_I}}{\sigma Y_{\pi_I}} + \frac{1}{2} \sigma_{\tau_I} \frac{M(c_j^*)^2}{M(c_j^*)^3}.$$

Обозначив в (10) случайным вектором $E_0 = H_1 \cdot E' + H_2 E''$ для приближенного значения $\Phi\Phi\Pi$, можно написать:

$$L(X_2; Y_n; \overline{B}; \overline{U}) = P_{E(B_1, U)}(-F/B; \overline{U}).$$

Заметим, что оптимизация функции (11) методами оптимизации нелинейных функционалов невозможна, т. к. при изменении значений B и U изменяются значения элементон матрин H_1 и H_2 совместная илотность распределения элементов вектора E_2 а, следовательно, и сама оптимизируемая функция. Поэтому определение оценок $MM\Phi\Pi$ предлагается реализовать с помощью следующей итерационной процедуры.

- 1. Векторам B в II задают исходные значения.
- 2. Для заданных значений B_t и U_t определяются элементы матриц H_t и H_z .
- 3. Определяется функция плотности распределений линейного преобразования случайных векторов E' и $E'': E_0 = H_1 \cdot E' + H_2 \cdot E''$.
- 4. Для заданных значений B_t и U_t определяются элементы вектора F и по найденной функции плотности распределений $P_{E_t B_t | U} \left(-F_t B_t^* | U \right)$ значение $\Phi \Phi \Pi$ в заданной точке.
- 5. Используя один из методон оптимизации нелинейных функционалон, определяются новые значения оценок \overrightarrow{B}_{i+1} и \overrightarrow{U}_{i+1} , минимизирующие техущую $\Phi\Phi\Pi$.
- 6. Проверяются условия $B_{i+1} = B_i = U_i = U_i < \epsilon$ и при их соблюдении определение оценок B и U заканчивается, в противном случае процесс повторяется, начиная с п. 2.

ԱՄԵՊՎՈՇԱՄԵՐԱՅԱՆ ՇԱՒԱՌՎԸԸ ՇԵՎՈՔԱԼԵՐԱԳՈՒ ԳՐԵՐԵՐԵՐ ՎՔՐԹԵՐ

U. d. din din i. d

Դիտարկվում է բարգ օրյնկաննրի ննրջին պարամնարնըի գնանատման խնդիրը։ Առաջարկվում է իրենց իրական արժեթներին ավելի մոտ ճամարել հերթին պարամնարների այն արժեջները, որոնց գնաբում օրյնկաում ընքացող ֆիդիկական նրնույթները նկարագրող ստոխաստիկ մաթենատիկական մոգելում կիրասված ֆիդիկայի ճիմնական օրննջների բավարարումը։ Այս սկզբունթով ստացված ֆիդիկայի ճիմնական օրննջների բավարարումը։ Այս սկզբունթով ստացված ներջին պարամնարհրի արժեթները անվանվում են առավելագույն ճշմարտանմանության դնա մատականներ։

Բերված է այդ դնահատականների ճշտության վերլուծումը և տոաջարկված է նշված դնահատումն իրականացնող իտնրացիայի պրոցեղուրա։

ЛИТЕРАТУРА

- 1. Эйкхофф П. Ословы и тентификации систем управления. М., «Мир», 1975.
- Селож Мольс Дж. Теория оцениямия и ес применение в связи и управлении. М., «Связь», 1976
- 3 Голдевский В. С., Запария А. Н. О коспенном контроле безыперционных систем, «Точность и падежность киберистических систем», 1977, вып. 5

Shlofithming shows akehm

ХХХН № 4. 1980 Серия технических наук

НАУЧНЫЕ ЗАМЕТКИ

A A YHAHЯH

ОПТИМИЗАЦИЯ РАЗВИТИЯ ГАЗОТРАНСПОРТИЫХ СИСТЕМ на основе линамической молели

Газогранспортные системы в настоящее время относятся к наиболее активно развивающимся подсистемам топливно-энергетического комплекса как в масштабе страны, так и районов. Постоянный рост потребления газа, изменчивость сырьевой базы, вследствие истощения действующих и открытия новых месторождений подвергают непрерывному пересмотру потоков газа от источников до потребителей, изменеиню конфигурации газогранспортных систем и ее нараметров. В сиязи с огромиыми загратами, связывыми с разлитием газотранепортных систем, оптимальное решение этих вопросов имеет народнохозяйственное значение. 11 как показано в исследованиях [1], из-за наличия примых и обратных слязей между предыдущими и последующими решениями, корректное решение стратегни развития газогранспортиму систем можно получить лишь на основе разработки и реализации динамических моделей, охватывающих весь перноз планирования. Несмотря на актуальность вопроса разработки динамических моделей развития газотранспортных систем, ей посвящено относительно небольшое число работ по сравнению со статическими постановками и в них, как правило, решается ограниченный круг вопросов с различной степенью допущений (линеаризация зависимостей, оптимизания лишь потоков газа без учета распределения давлений газа в сети и др.). В связи с этим ниже предлагается динамическая модель оптимизации развития газотранспортных систем, реализация которой поэволяет единовременно определить опимальную стратегню развития сети — технические решения по газопроводным участкам и компрессорным станциям, потоки газа с учетом распределения давлений — по дискретным временным уровним выбранного периода иланирования. Эти решения ныбираются из условия обеспечения минимума суммарных приведенных затрат на систему за весь период планирования с учетом периода «последствий» [2].

Рассмотрим N пременных уровней t, t = 0, N периода вланчроваини, где t=0 соответствует моменту принятия решений, а t=N — хоипу периода планирования. Интервал между соседними временными уровнями может равняться одному или нескольким годам. Состояние

газотранспортной сети на t-м временном уровне опишем с помощью графа $G_t(X_t, T_t)$, $t = \overline{0}, \overline{N}$, где X_t – множества узлов системы, а T_t множества газопроводных участков и компрессорных станций. Предполагается, что выполняются следующие условия

$$X_t \subseteq X_{t+1}, \quad T_t \subseteq T \qquad t = \widetilde{0} \quad \Lambda = 1.$$

что соответствует моследовательному развитию сети.

Для рассматривяемого случая, когда совместно определяются техвические решения по газопроводным участкам, компрессорным станиям и потокораспределение в сети с учетом распределения даялений газа, затраты Z_{Ij} на каждый элемент (i,j) системы являются функцией от выбираемых технических решений $u_{ij}^{\chi},\ldots,u_{ij}^{\chi}$, начальных P^{χ},\ldots,P^{χ} , конечных давлений $P^{\chi},\ldots,P^{\chi}_{ij}$ и потоков газа $Q^{\chi},\ldots,Q^{\chi}_{ij}$ по элементу, соответствующим рассматриваемым временным уровиям, где h номер временного уровия ивода элемента в эксплуатацию. Для действующих элементон: k=1.

Поэтому целевую функцию задачи оптимизации можно представить следующим образом:

$$\sum_{(l,j) \in T_N(\overline{u}_{lj})} \min_{Z_{lj}} (\overline{u}_{lj}, \overline{P}_i, \overline{P}_j, \overline{Q}_{ij}) \rightarrow \min, \tag{1}$$

где
$$\overline{u}_{ij} = (u_{ij}^{N}, \dots, u_{ij}^{N});$$
 $P = (P_{i}^{N}, \dots, P_{i}^{N});$ $\overline{P}_{j} = (P_{j}^{N}, \dots, P_{j}^{N});$ $\overline{Q}_{ij} = (Q_{ij}^{N}, \dots, Q_{ij}^{N}).$

Технологически допустимая область поиска минимума (1) задается еледующими условиями.

1. Условнями перазрывности потоков газа по узлам сети

$$\sum_{i=X_{j}^{k}} \operatorname{sgn}(P^{k} - P^{k}) \cdot Q_{ij}^{k} + \sum_{i=Y_{j}^{k}} \operatorname{sgn}(P_{j}^{k} - P_{i}^{k}) \cdot Q_{ij}^{k} - Q_{j}^{k} + Q_{jn}^{k} = 0, \quad (2)$$

$$i \in X_{k}, \quad k = \overline{1 + X_{j}^{k}}$$

где X_i и Y_j^k — соответственно, множества газопроводных участков и компрессорных станций, смежных к j-му узлу на k-м временном уровне; Q^k — потребляемый в j-м узле газ на k-м временном уровне (для нейтральных узлов они равны нулю); Q_{ja}^k — отбираемый газ на k-м временном уровне из источника, расположенном в j-м узле:

$$sgn(a) = \begin{bmatrix} 0, & ech & a = 0, \\ 1, & ech & a > 0, \\ -1, & ech & a < 0. \end{bmatrix}$$

2. Фукциональными условиями по газопроводным участкам

$$|F^{n_2} - P_i^{n_2}| \le c \cdot Q_{ci}^{n_2} (d^{k-1})^{5,2}, \quad k = 1, \Lambda$$
 (3)

$$a^{k-1} \cdot \min(P^{k2} \mid P^{k2}) = \max(P_1^{k2}, \mid P_j^{k2}) \leqslant b^{k-1} \cdot Q_{II}^{k}, \qquad k = \overline{1, N},$$
 (4)

где c — коэффициент; d_{ij}^{k-1} — эквивалентный диаметр участка (i,j) на k-1-м временном уровне; a_i^{k-1} , b_i^{-1} — коэффициенты A. Γ . Немудрова [3] для компрессорной станции (i,j) действующей или рассчитанной на k-1-м временном уровне.

Кроме условий (2)—(4) на переменные P^* , P^* , Q^* , Q^* , k=1,N устанавливаются прямые ограничения гипа "не больше чем" и (или) "не меньше чем" (Q^*_j — наперед заданные постоянные).

Реализация рассмотренной модели сводится к решению задачи нелинейного математического программирования, размерность которой пропорциональна числу временных уровней. Поэтому при большых й ее реализация связана с большими вычислительными трудностями, которые усугубляются дискретностью выбираемого оборудования (труб и компрессорных агрегатов).

Рассмотрим следующие основные два способа се реализации. Первый способ, для которой решены основные принципиальные вопросы, основывается на предварительном расчете и использовании апалатиче-(технико-экономических характеристик) ских зависимостей $Z_{ij}^{*}(P_{ij},P_{ij},Q_{ij})$, с помощью которых формулируется целевая функция задачи оптимизации. При этом, из целевой функции исключаются техначеские решения и задача переводится в область непрерывных переменных $P_i,\,P_j,\,Q_{ij}$ что позволяет использовать обычные методы матемагического программирования. Технические решения по газопроводным участкам и компрессорным станциям определяются после реали ации задачи математического программирования, по оптимальным значениям $P_{+}^{\star},\;P_{+}^{\star},\;Q_{-}^{\star}$ с помощью зависимостей, на основании которых рассчитываются технико-экономические характеристики. Паиболее удобными функциями для аналитического представления технико-экономических характеристик являются обычные нелинейные полиномы [4] (при N не более двух) или составляющие функции [5] (при N>2), коэффициенты которых определяются методом наименьших квадратов.

Второй способ (менее трудосмкий) заключается в прямой реализации модели путем непосредственного расчета затрат Z_{ij} , входящих в целевую функцию (1). Однако, время решения задачи оптимизации при этом многократно нозрастает. В настоящее премя разрабатывается алгоритмическое и программное обеспечение реализации рассмотрецной модели по этому способу.

Основной его особенностью является реализация модели с номощью единой программы, которая включает основной блок и подпрограммы. В основном блоке программы реализуется этап онтимизации (задача математического программирования) относительно переменных $P_t,\ P_j,\ Q_{ij}.$ В качестве метода его реализации нами в настоящее время непользуется метод покоординатного опуска (метод Гаусса—Зейделя) с постепенно уточияющимися шагами.

Накопленный вычислительный опыт показывает, что применительпо к районным системам средних размеров описанной моделью можно
охватить примерио пяти временных уровней периода планировачия с
достаточно подробным выделением газопроводных участков и комирессорных станций.

Применительно к большим системам газоснабжения (например, Единой системы газоснабжения) необходимо применять агресирование системы — рассмотрение участкоя от компрессорной станции до компрессорной станции с перепесением потребителей и источников газа на начало или конец участка. При этом ориентировочные расчеты локазывают, что при условии применения средств вычислительной техники средней мощности можно охватить два-три временных уровня периода планирования.

Ереванский комплексный отдел ВИНИЭгазиром

Поступило 26.ХП.1979

ЛИТЕРАТУРА

- Оптимиращия и управление в больших системах энергетики. Т. 1, Пркутек. АН СССР, СЭИ, 1970.
- 2. Мелентыев Л. А. Системные последования в энергетике. М., «Наука», 1979, с. 416.
- 3 Александров А. В. Яковлев Е. И. Проектирование и эксплуатация систем дальнего транспорта газа, М., «Недра», с. 432.
- 4 Унания Л. А. Оптимизация развития газотранспортных систем во временя Реф. с6 «Экономика газовой промышленности». М., ВНИИЭгазиром, 1974. № 10.
- 5 Унании Л. А. Об одном влгоризме формализации задачи выбора оптимальных глиотранспортных систем с учетом динамики развития. М., ВИППЭгизиром, 1978, деп. № 31.

		57
	ՄԵՔԵՆԱՇԻՆՈՒԹՅՈՒՆ	
5 .	մ. հասյան, Հ. Բ. Բաղղասաբյան, Ս. Ս. Մեսշոպյան։ Կարման պրոցնսի պարա- մետրերի օպաիմիզացման մի մեքիոլի մասին՝ ըստ դործիրի անրնգ։ատ մաշման	ئ
	ԵՐԻՐ ԵՏԻԿ Ա	
ŀ.	Ի, Շաբարիստեյան։ Էներդաժիավորման մեջ մահող Էնհրդանամակարգերի հասատա ված ռեմիմի այդորինմը՝ հաշվի առնելով միջնամակարգային նղորությունների նուրերի վրա գրված սանմանափակումները	11
	էլ Ե ԿՏՐԱՏ ԵԽՆԻԿ Ա	
	 Մաֆասյան։ Էլեկտրահամակարդերի ընդ անրացված պարամետրերի 2-մատրիցայի ուղղումը արանաֆորմացիայի կոմպերա դորժակիցների փոփոխման դեպբում . Մողիկյան։ Եռաֆար ասինարոն չարժիյի քլեկտրամագնիսական մոմենաը անհամայան էլեկտրասագնիսական տորդելակման ուժիմում	14
l _{I,}	որոշումը	J.
	ՀԱՇՎՈՎԱԿԱՆ ՏեԽՆԻԿԱ	
Į.	tt. Գրիգույան։ Տեխնոլոդիական պրոցեսի կայունության գործակցի որոշումբ և թո- դարկվող արտագրանքի օպաիմալ պարաժետրերի ընտրումբ	3
П,	II, իակասարան։ Հայիոզականունկան կրճատվան մեքիող՝ ավտոմատ կարդավորման բացմակատ համակարդերի հետազոտման համար	4
ķ.	և Մանակյան Առավեյագույծ ֆիզիկական Հյմարտանմանության մեքոդի :իմունրենրը	7
	ንኮՏԱԿԱՆ ՆՈԹՆԸ	
Į.	2. Հունանյան։ Գաղատրանսպորտային համակարգերի սպտիմիզացումը դինամիկական մողելի հիման վրա	5

СОДЕРЖАНИЕ

		Сrр.
	МАШПНОСТРОЕНИЕ	
М,	. В. Кисьян, Г. Б. Багдасирян, С. С. Месропян. Об одном методе оптимяла пвраметров процесса резания во непрерывному и пашиванию инструме	
	энергетика	
11	Н Шарабхиния. Алгоризм расчета установнищегося режима эпергосист входящих в эпергобъединение, с учетом ограничений на мощности меж стемных перетоков.	CH-
	ЭЛЕКТРОТЕХНИКА	
	С Софарян Коррекция Z-матрицы обобщенных параметров электричес систем при изменение комплексных коэффициентов трансформиции	= 19
	О Согиния Электромагинтный момент тремфалного асинхронного двигат в вежиме несимметричного электромагинтного тормоза	25
K	4. Гамбурки, Г. О. Мкртичи. Определение характеристик потерь мощно на корону	
	вычислительная техника	
	1. Григорян. Определение коэффициента стабильности тёхнологического и песся и ныбор онтимальных няраметров выпускаемых изделий	37
	 С. Захарьян. Метод сокращения размерности при исследова ин многосвяти систем датоматического регулирования. Н. Манукан. Основы метода максимально-физического правдоподобия 	43
	научные заметки	
.9	. 4. Унаняя. Оптимиламия развития газотранепортных систем на основе линя	Mu-

Техинческий редактор Л. А. АЗИЗБЕКЯН

B中 05416

Над. № 5305

Заказ 811

Тираж 445

Сдано в набор 15,07, 1980 г. Подписано к печати 3, 10, 1980 г. Формат бумагн 70 - 1081/16. Печ. л. 4.25. Бум. л. 2,12. Усл. п. л. 5,95. Уч. изд. л. 4,46.

Издательство Ахадемии наук Армянской ССР, Ереван, ул. Барекамутян, 24г. Типография Издательства АН Армянской ССР, Ереван, ул. Барекамутян 24.